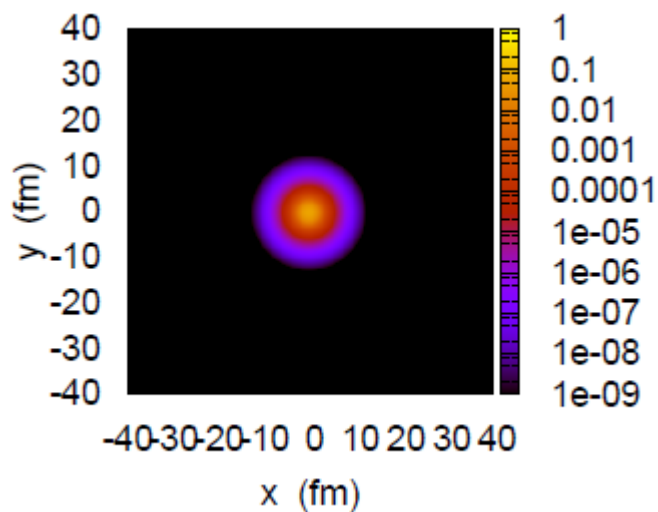


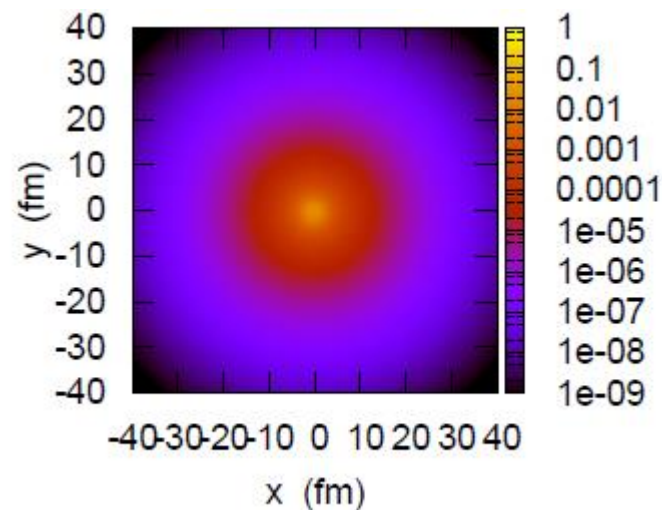
1粒子ハロー核の性質

- 束縛状態
- 角運動量の効果
- クーロン励起
- 変形



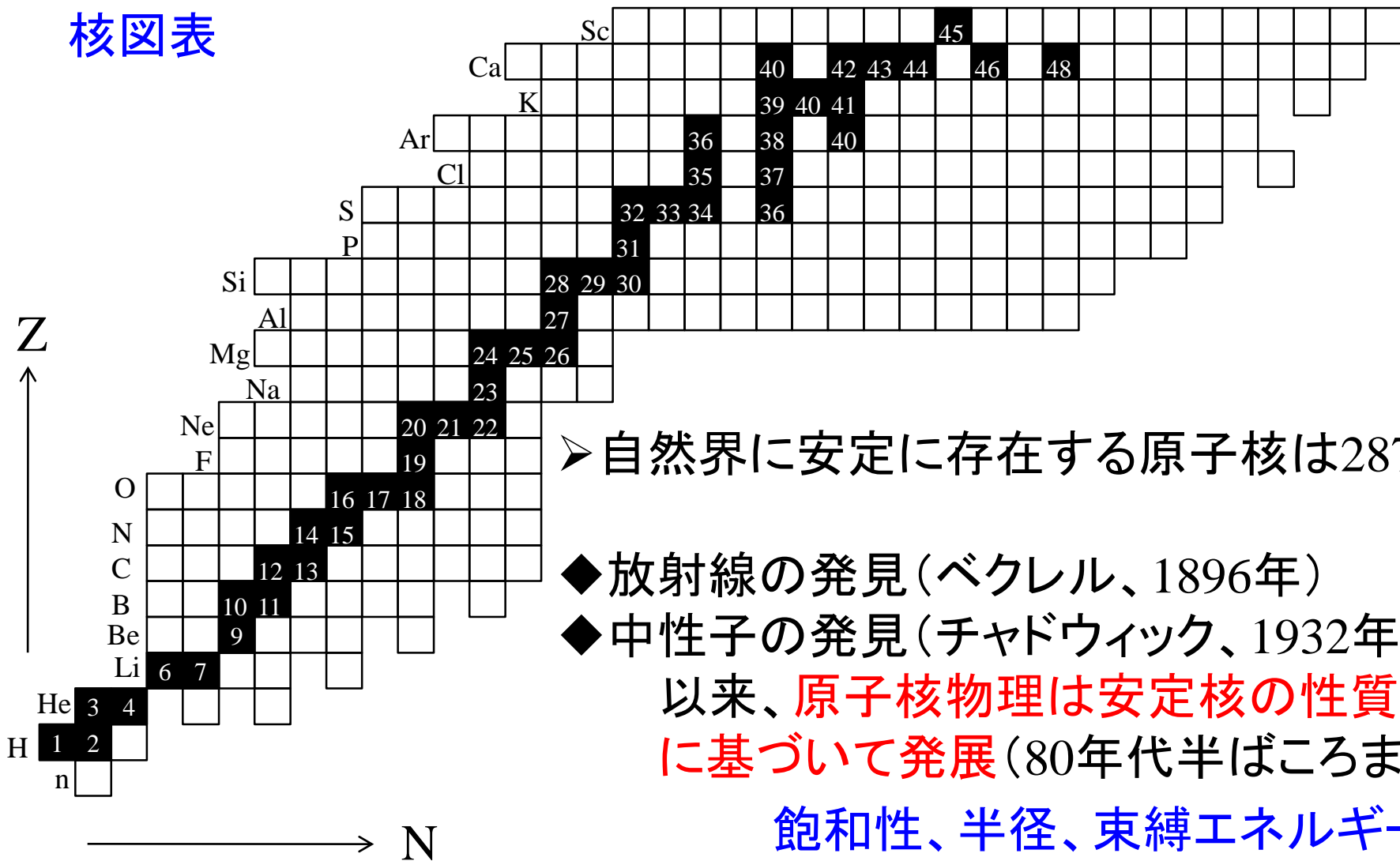
弱束縛

井戸型ポテンシャル
($l=0$ 束縛状態)



イントロダクション

核図表



➤ 自然界に安定に存在する原子核は287種

- ◆ 放射線の発見 (ベクレル、1896年)
 - ◆ 中性子の発見 (チャドウィック、1932年)
- 以来、**原子核物理は安定核の性質に基づいて発展** (80年代半ばころまで)

飽和性、半径、束縛エネルギー
魔法数と独立粒子描像、、、、

原子核物理は安定核の性質に基づいて発展

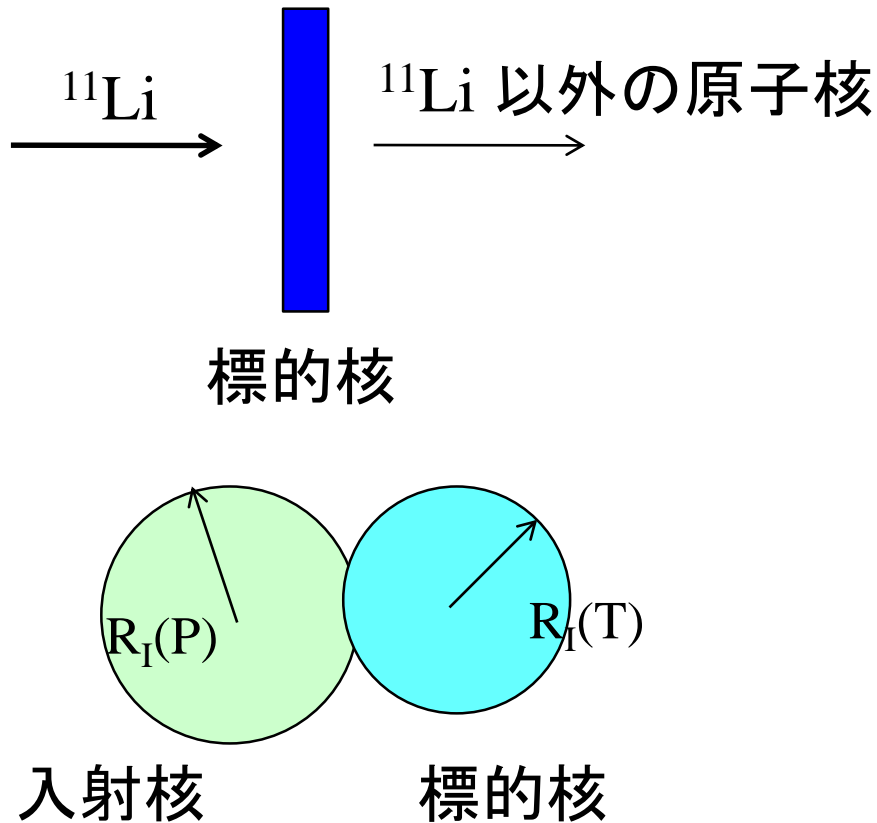
→ そうは言っても、自然な疑問として

「陽子数が与えられたときに、中性子は何個まで安定にくつつくのか？」

古くから関心は持たれていた。

- “Light Nuclei with Large Neutron Excess”
V.V. Volkov, in Proc. Int. Conf. on Nucl. Phys. ('74)
- “Very Neutron Rich Light Nuclei”
G.T. Garvey, Comments on Nucl. and Part. Phys. 5('72)85.
- “Explorations far from stability”
O.L. Keller Jr., Comments on Nucl. and Part. Phys. 5('72)98.
- “Int. Symp. on why and how should we investigate nucleides far off the stability line”, Lysekil, Sweden (1966).
- “Int. Conf. on the Properties of Nuclei far from the Region of Beta-Stability”, CERN (1970).

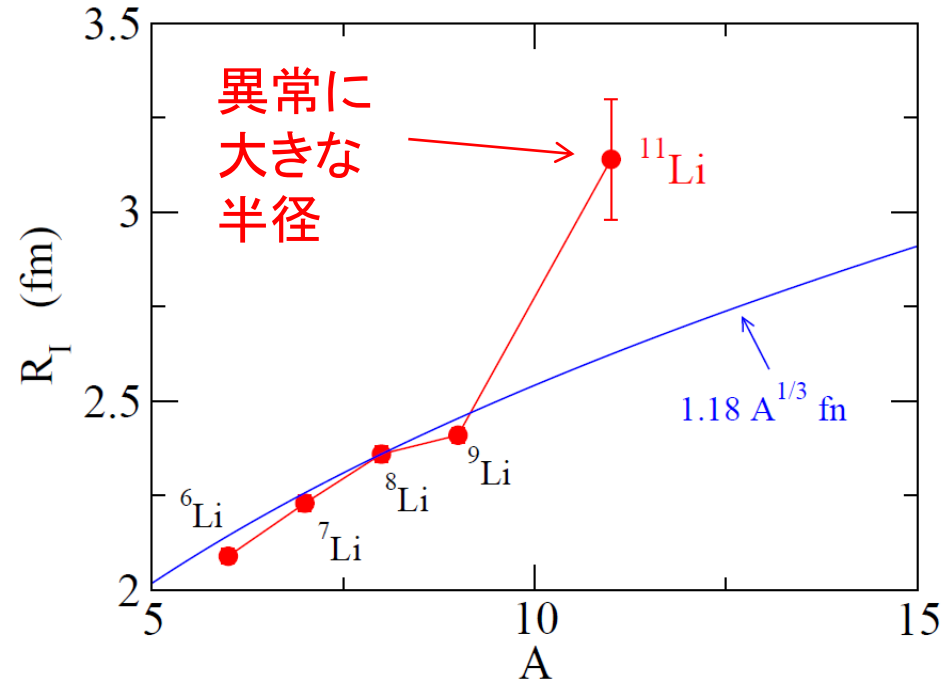
不安定核研究の本格的幕開け: 相互作用断面積測定 (1985)



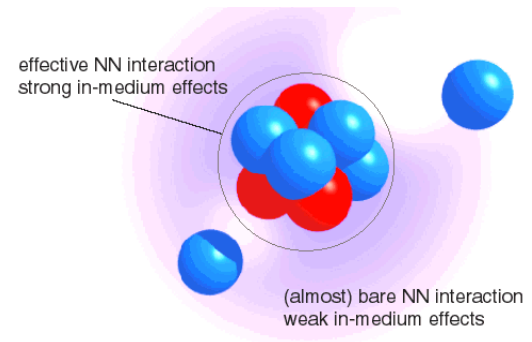
2つの原子核が重なった時に
反応が起こるとすると

$$\sigma_I \sim \pi [R_I(P) + R_I(T)]^2$$

$$\longrightarrow R_I(P)$$

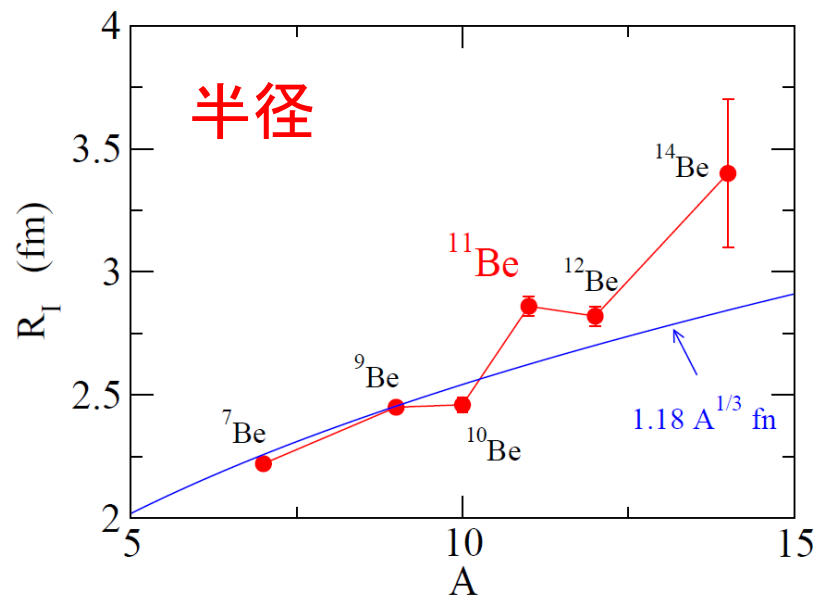


I. Tanihata et al., PRL55('85)2676



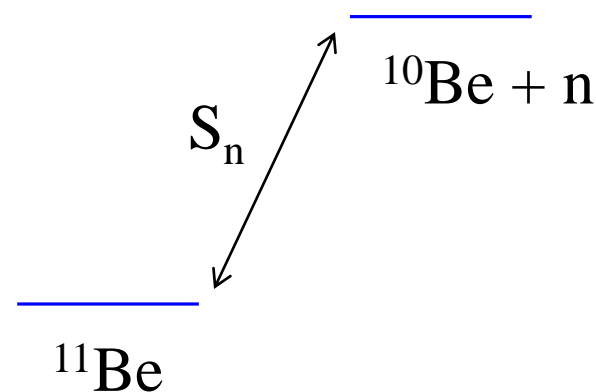
1中性子ハロ一核

典型的な例： $^{11}_4\text{Be}_7$



I. Tanihata et al.,
PRL55('85)2676; PLB206('88)592

1中性子分離エネルギー



$$S_n = 504 \pm 6 \text{ keV}$$

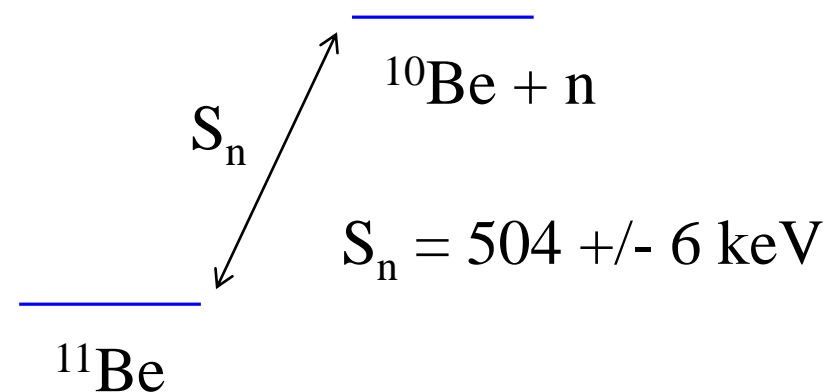
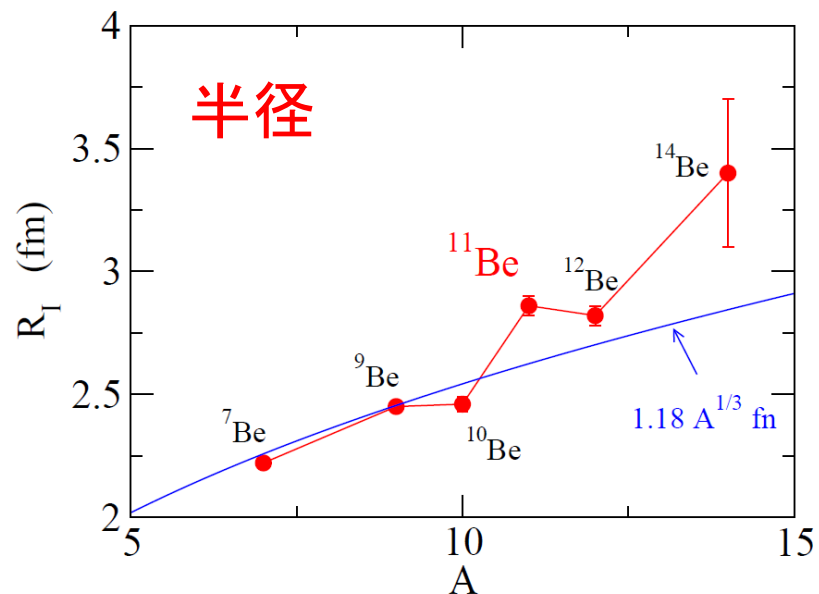
非常に小さい

ちなみに ^{10}Be では、
 $S_n = 6.81 \text{ MeV}$

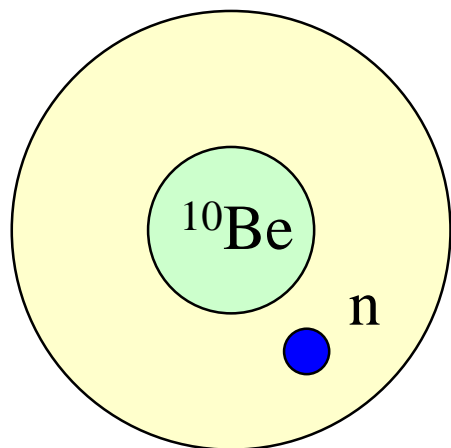
1 中性子ハロー核

1 中性子分離エネルギー

典型的な例： $^{11}_4\text{Be}_7$



解釈： ^{10}Be のまわりに1つの中性子が弱く束縛され薄く広がっている



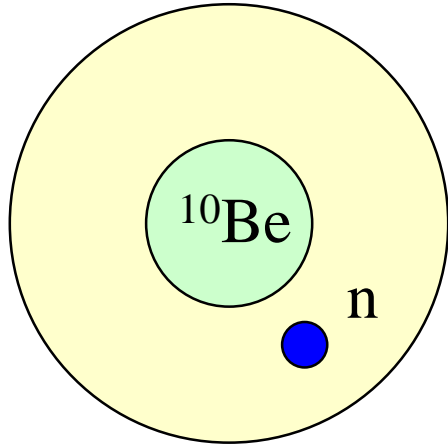
$$\psi(r) \sim \exp(-\kappa r) \quad \kappa = \sqrt{2m|\epsilon|/\hbar^2}$$

弱く束縛された系



密度分布の空間的広がり(ハロー構造)

解釈： ^{10}Be のまわりに1つの中性子が弱く束縛され薄く広がっている



$$\psi(r) \sim \exp(-\kappa r) \quad \kappa = \sqrt{2m|\epsilon|/\hbar^2}$$

弱く束縛された系

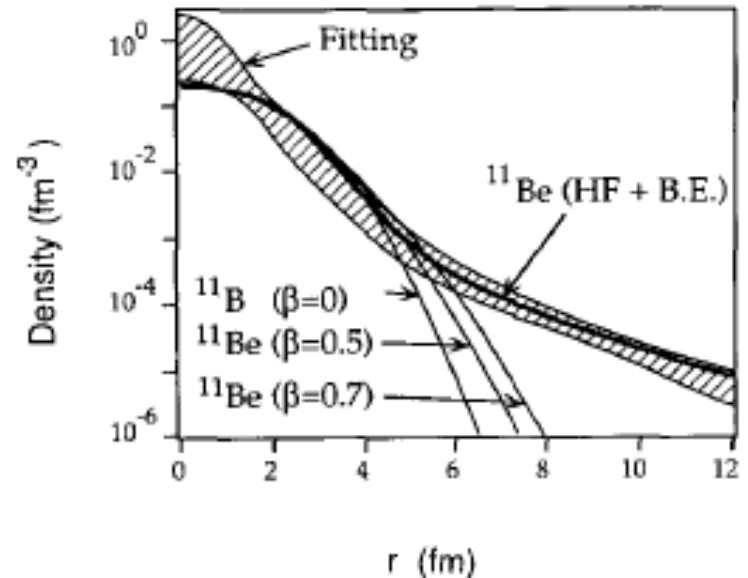


密度分布の空間的広がり(ハロー構造)

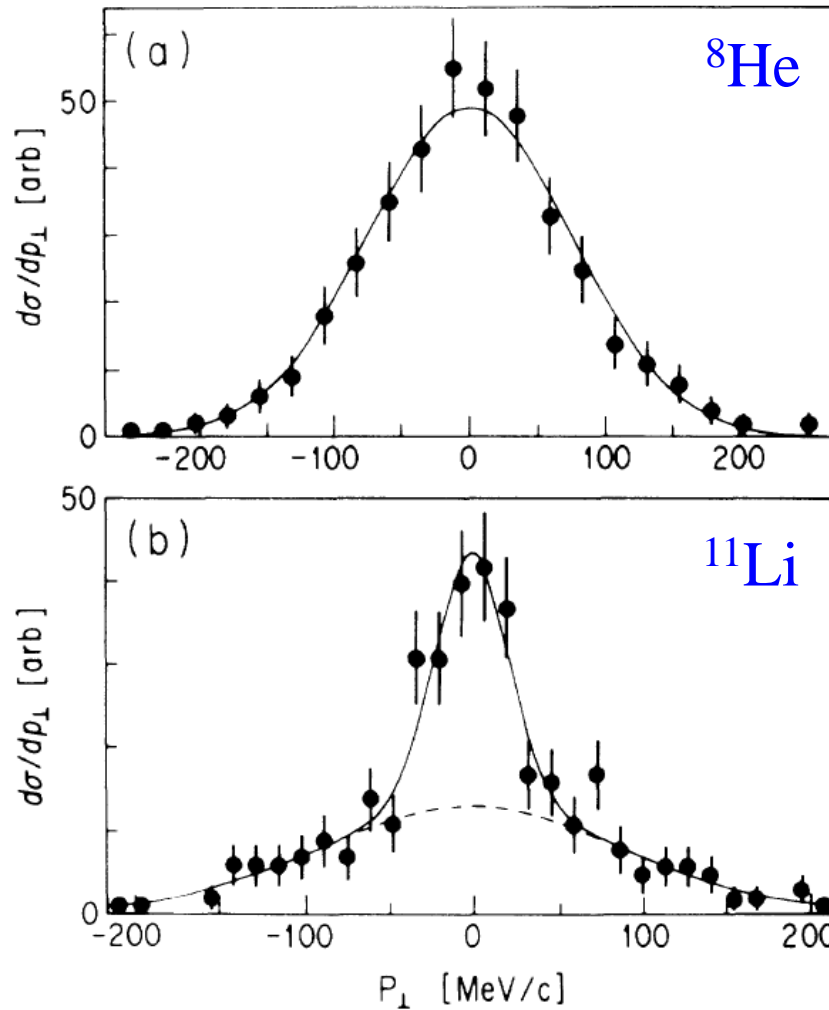
反応断面積の実験値を説明する
密度分布



月暈(月のまわりに広がる
薄い輪。ハロー。)



運動量分布



$S_{2n} \sim 2.1 \text{ MeV}$

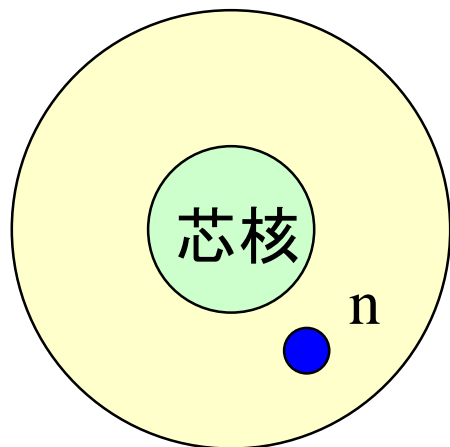
$S_{2n} \sim 300 \text{ keV}$

束縛が弱くなり空間的に広がると運動量分布が狭くなる

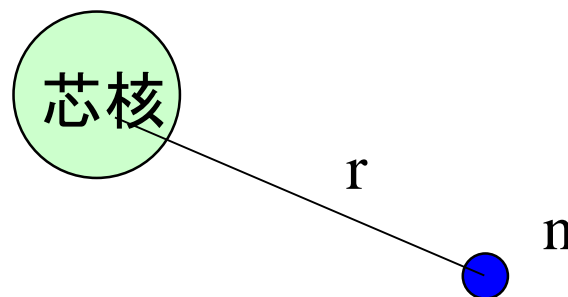
↔ 中性子ハロー

FIG. 1. Transverse-momentum distributions of (a) ^6He fragments from reaction $^8\text{He}+\text{C}$ and (b) ^9Li fragments from reaction $^{11}\text{Li}+\text{C}$. The solid lines are fitted Gaussian distributions. The dotted line is a contribution of the wide component in the ^9Li distribution.

一粒子運動の性質：束縛状態



芯核と中性子でできる2体問題と近似



相対距離 r の関数として球対称ポテンシャル $V(r)$ を仮定。

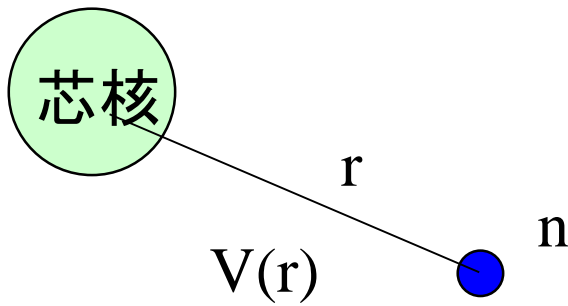
cf. 平均場ポテンシャル:

$$V(r) \sim \int v(r, r') \rho(r') dr'$$

相対運動のハミルトニアン

$$H = -\frac{\hbar^2}{2\mu} \nabla^2 + V(r)$$

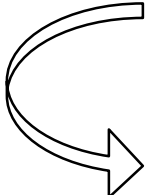
相対運動のハミルトニアン



$$H = -\frac{\hbar^2}{2\mu}\nabla^2 + V(r)$$

簡単のためスピン軌道相互作用はないとすると(1s 力がなくても本質は変わらない)

$$\psi_{lm}(r) = \frac{u_l(r)}{r} Y_{lm}(\hat{r})$$


$$\left[-\frac{\hbar^2}{2\mu} \frac{d^2}{dr^2} + \frac{l(l+1)\hbar^2}{2\mu r^2} + V(r) - \epsilon_l \right] u_l(r) = 0$$

境界条件(束縛状態):

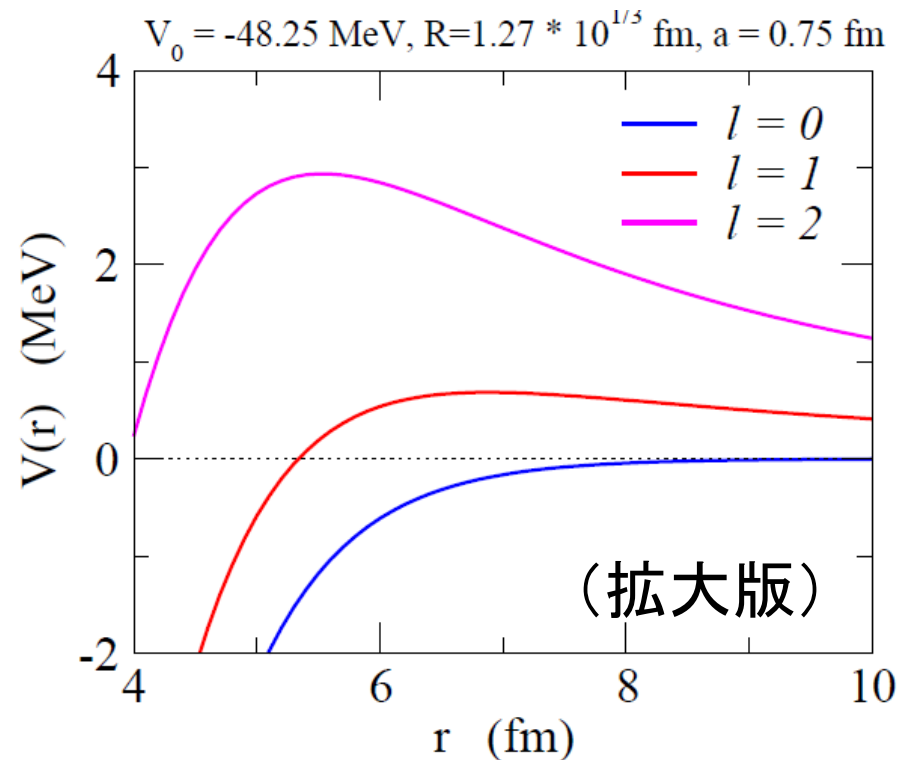
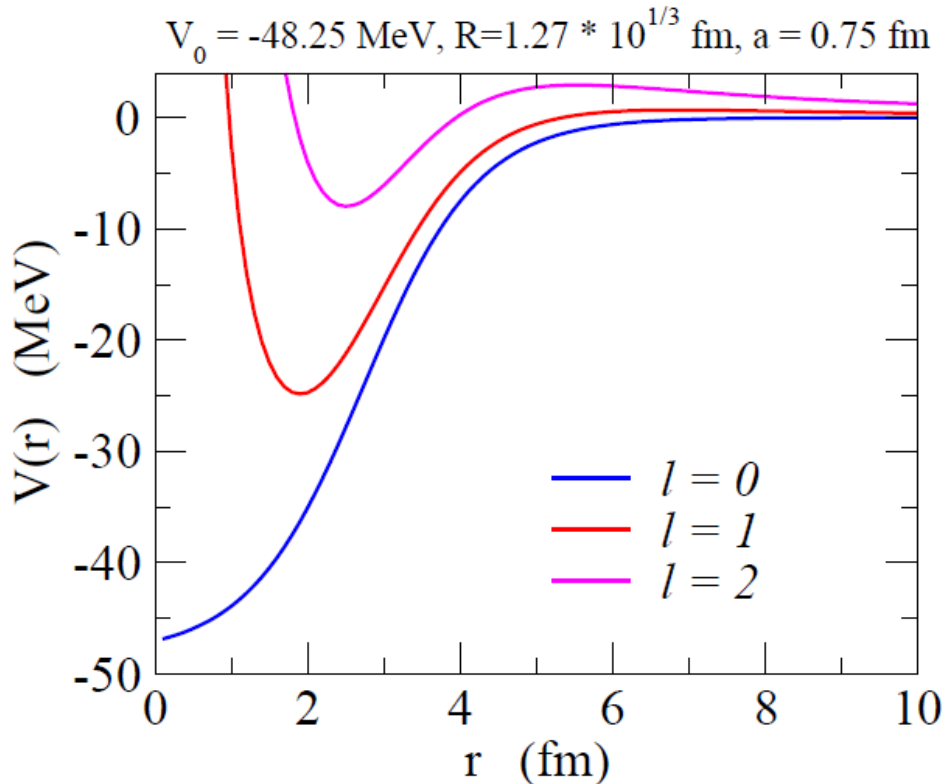
$$\begin{aligned} u_l(r) &\sim r^{l+1} & (r \sim 0) \\ &\rightarrow e^{-\kappa r} & (r \rightarrow \infty) \end{aligned}$$

* 正確には modified 球ベッセル関数

角運動量とハロー現象

$$\left[-\frac{\hbar^2}{2\mu} \frac{d^2}{dr^2} + \frac{l(l+1)\hbar^2}{2\mu r^2} + V(r) - \epsilon_l \right] u_l(r) = 0$$

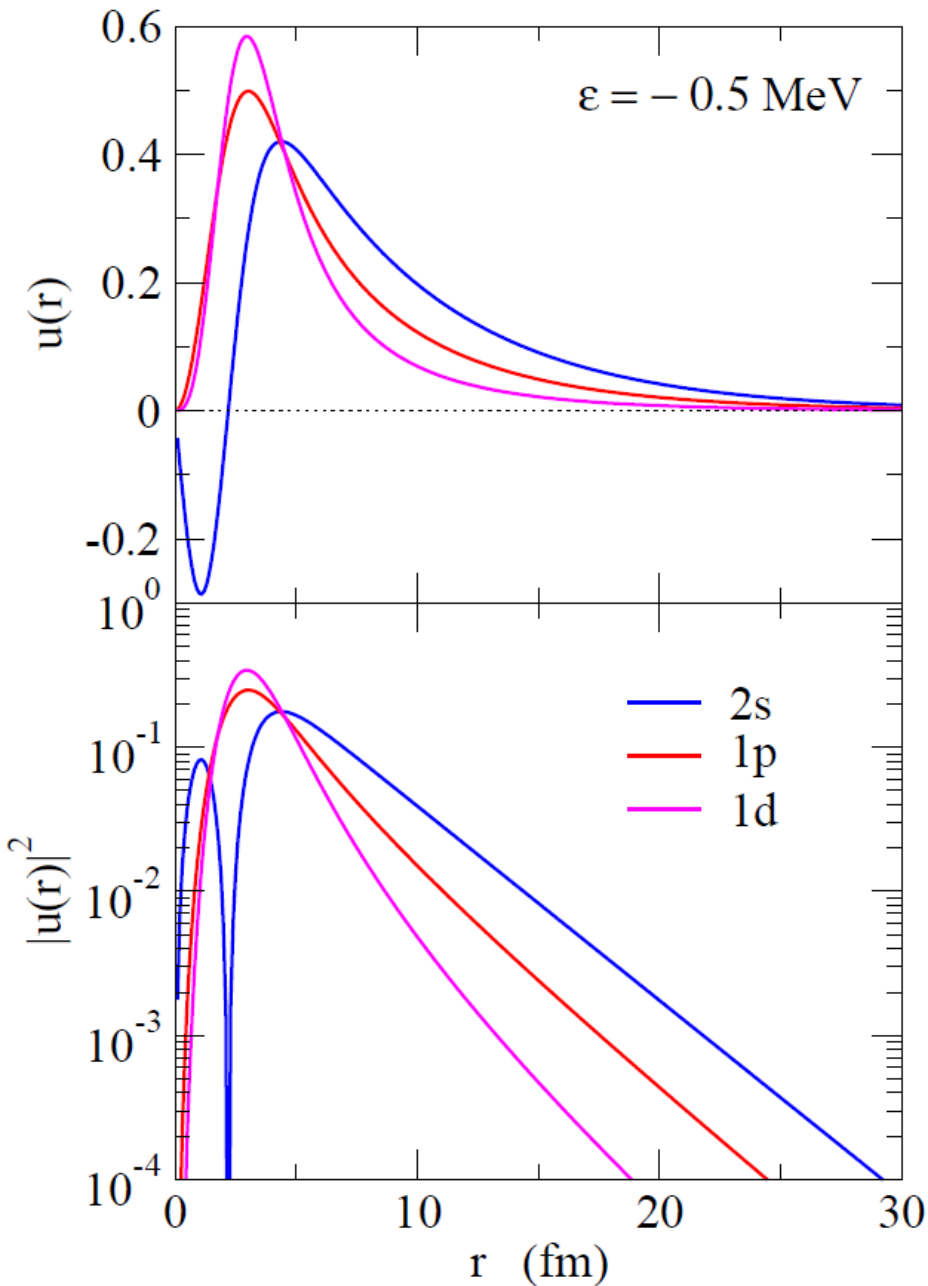
遠心力ポテンシャル



遠心力障壁の高さ: 0 MeV ($l = 0$), 0.69 MeV ($l = 1$), 2.94 MeV ($l = 2$)

波動関数

$\varepsilon = -0.5 \text{ MeV}$ となるように各 l ごとに V_0 を調整



$l = 0$: 長いテール

$l = 2$: 局在

$l = 1$: その中間

平均2乗半径:

$$\sqrt{\langle r^2 \rangle} = \sqrt{\int_0^\infty dr r^2 u_l(r)^2}$$

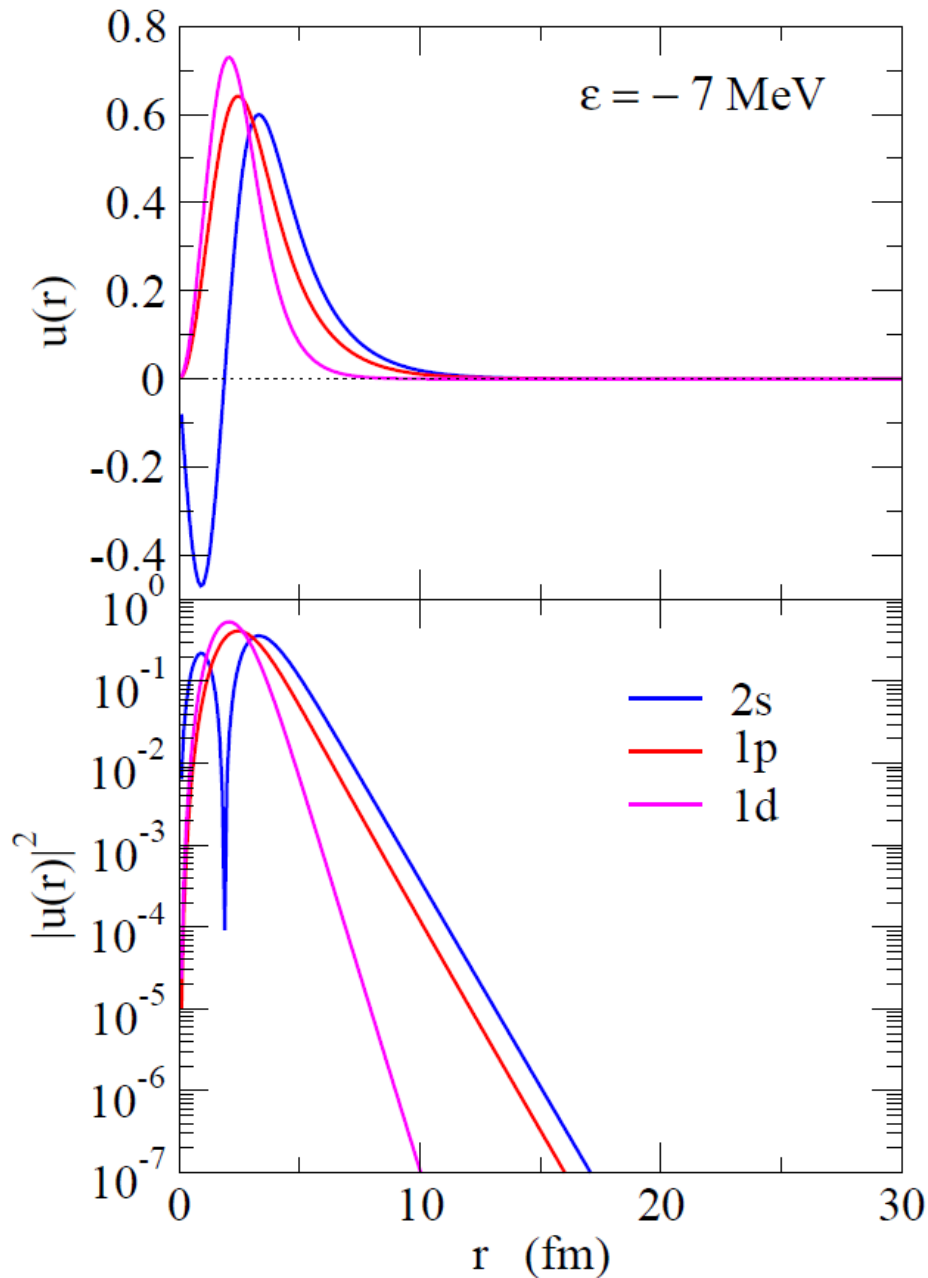
7.17 fm ($l = 0$)

5.17 fm ($l = 1$)

4.15 fm ($l = 2$)

波動関数

$\varepsilon = -7 \text{ MeV}$ の場合



どの l も波動関数は局在

平均2乗半径:

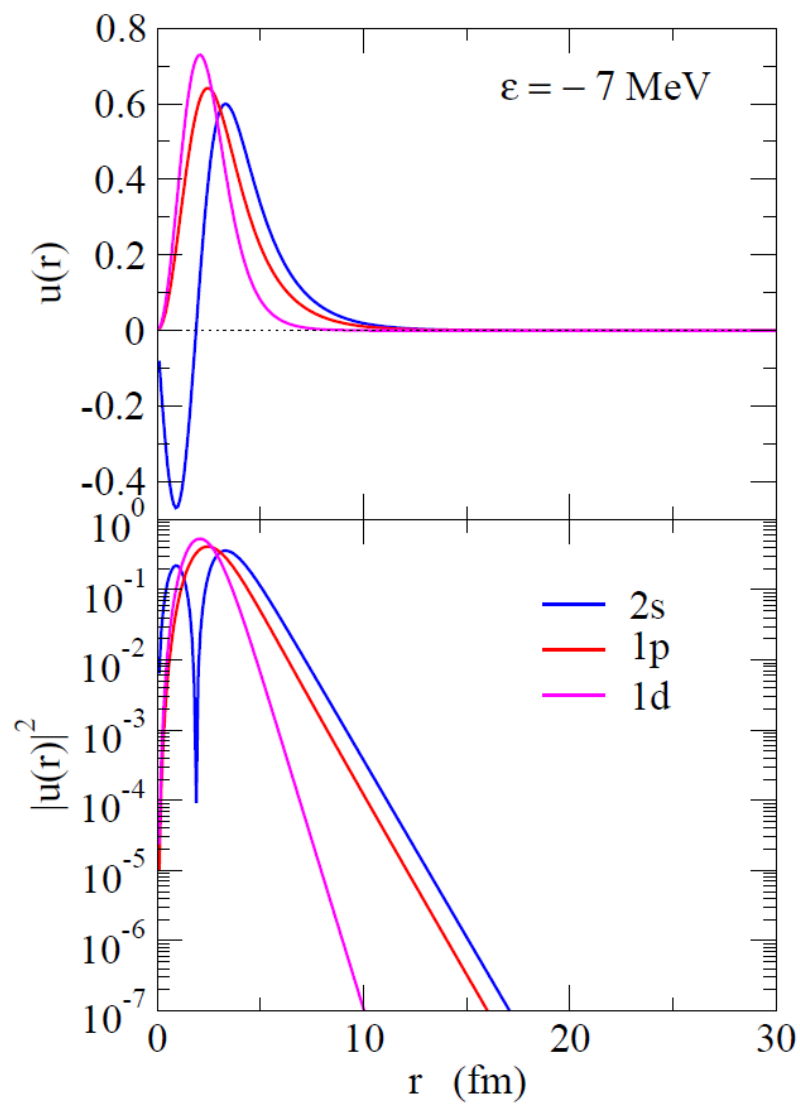
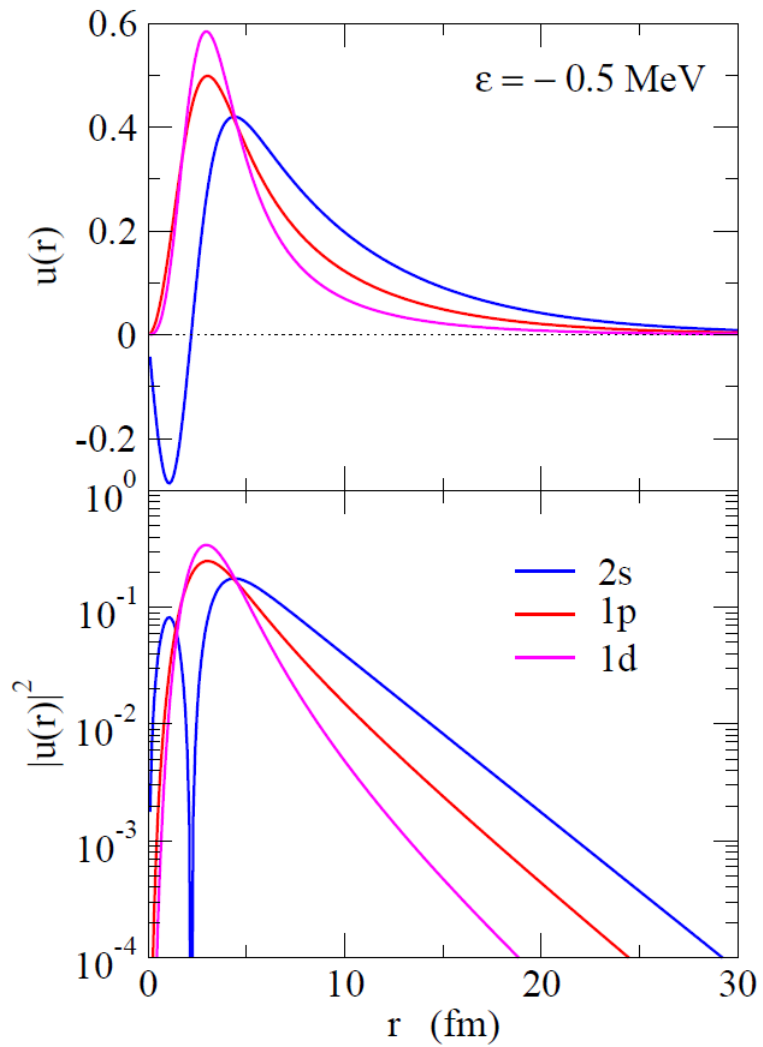
$$\sqrt{\langle r^2 \rangle} = \sqrt{\int_0^\infty dr r^2 u_l(r)^2}$$

3.58 fm ($l = 0$)

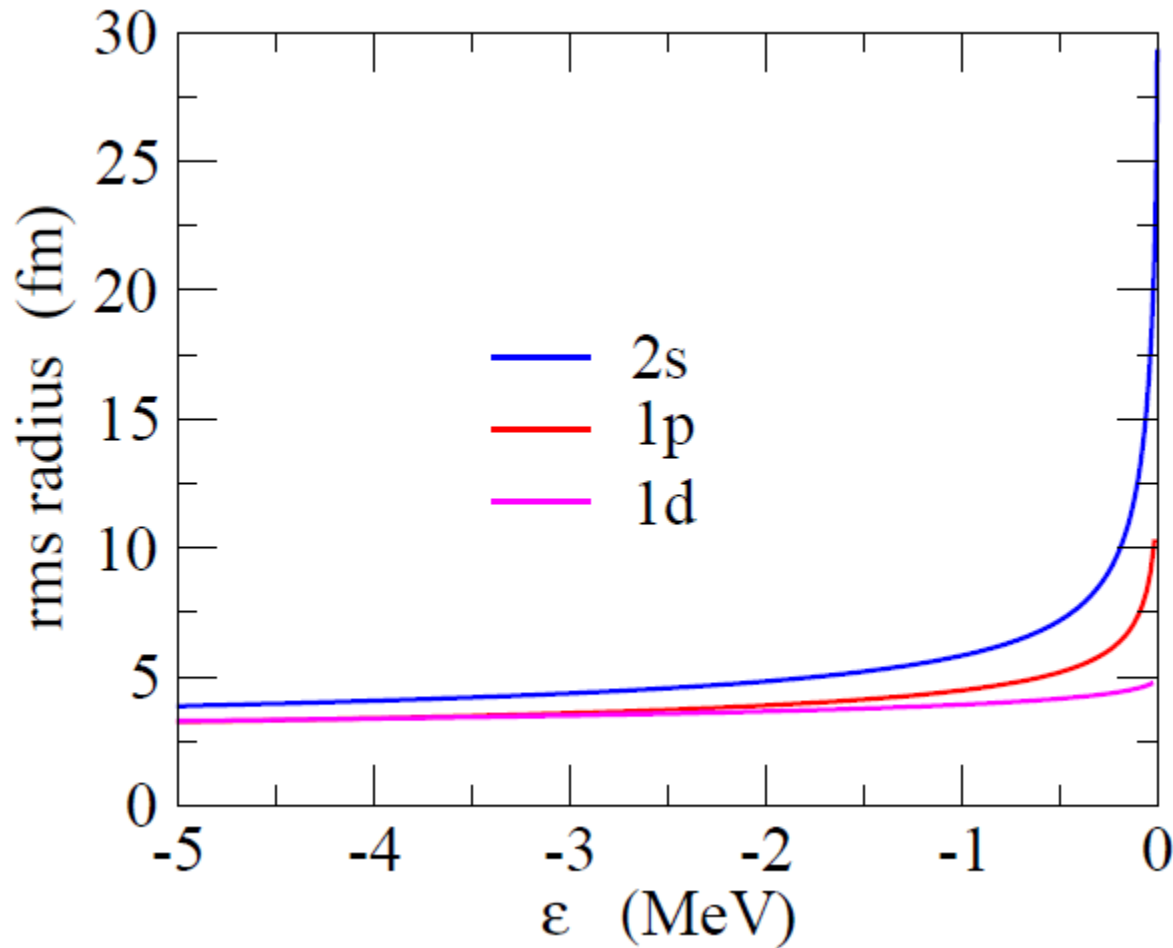
3.05 fm ($l = 1$)

3.14 fm ($l = 2$)

波動関数



$$\langle r^2 \rangle \propto \begin{cases} 1/|\epsilon_0| & (l=0) \\ 1/\sqrt{|\epsilon_1|} & (l=1) \\ \text{const.} & (l=2) \end{cases}$$



↓

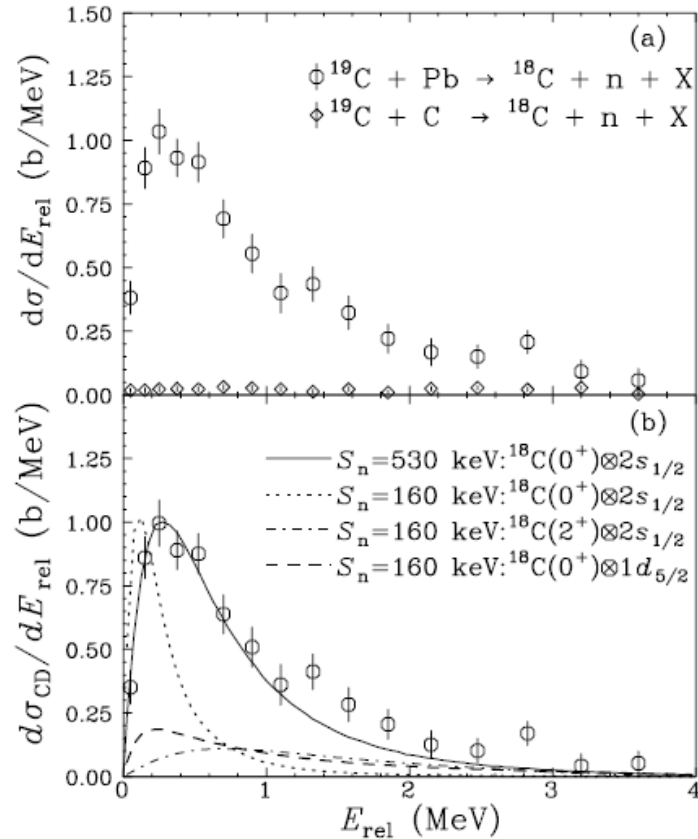
半径は $l=0,1$ では発散
(ゼロ・エネルギー極限)

↓

ハロー(異常に大きい
半径)は $l=0$ or 1 で
のみおこる

1n ハロ一核の他の候補

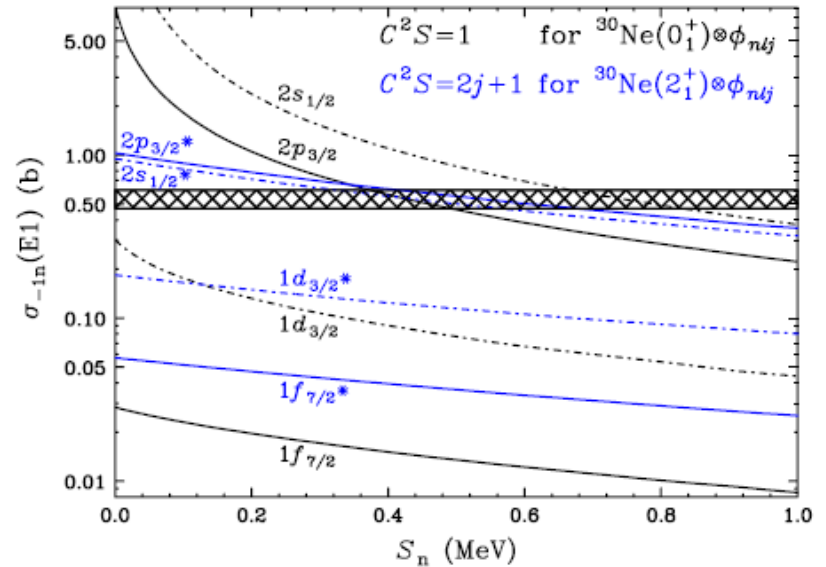
^{19}C : $S_n = 0.58(9)$ MeV



^{19}C のクーロン分解反応

T. Nakamura et al., PRL83('99)1112

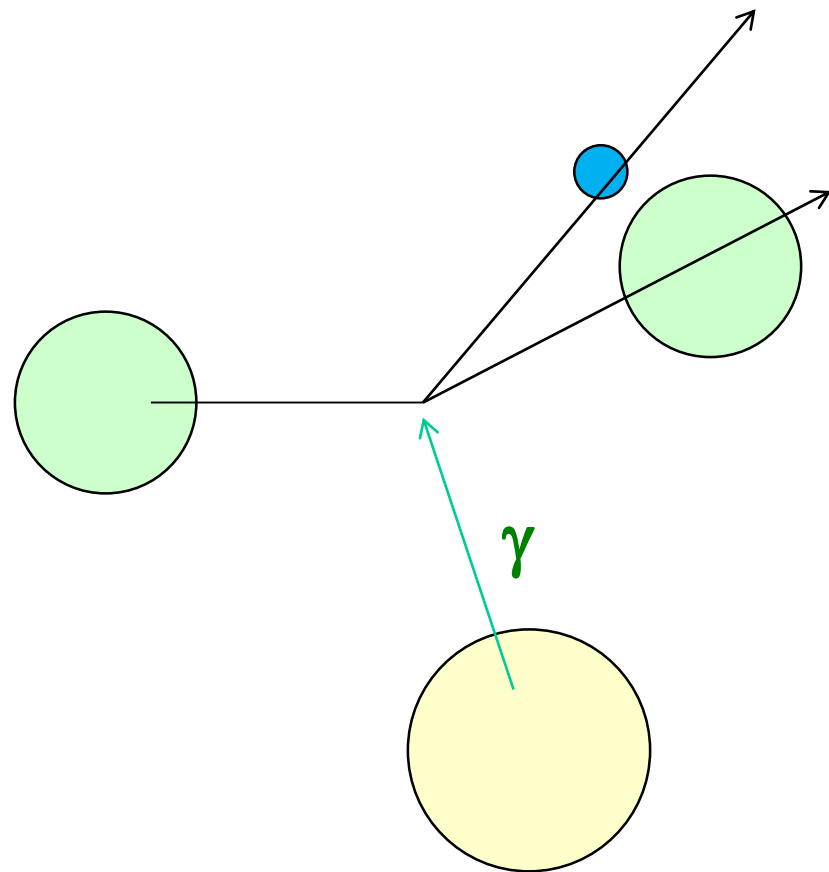
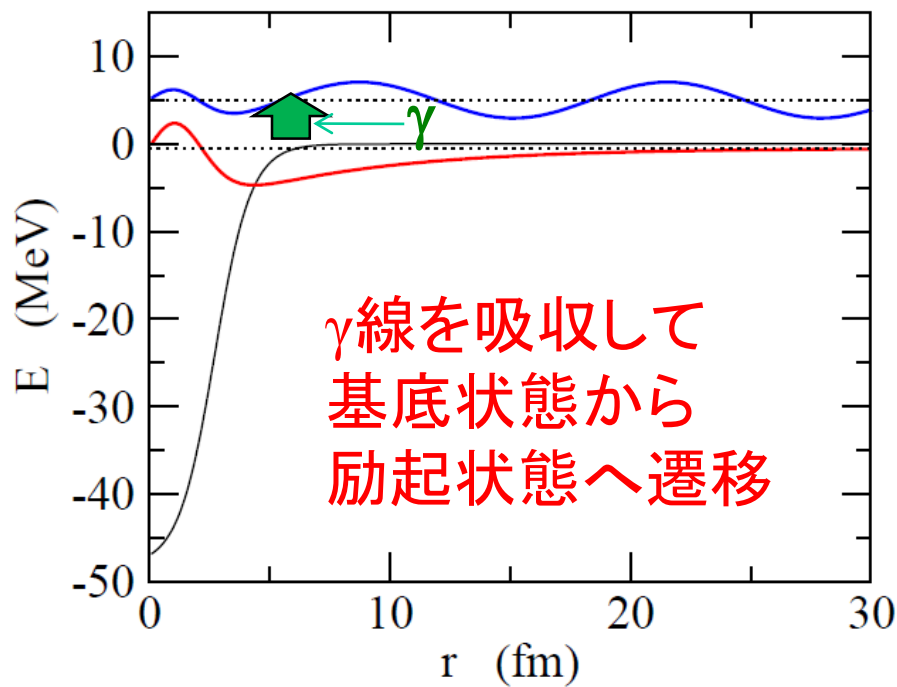
^{31}Ne : $S_n = 0.29 \pm 1.64$ MeV



大きなクーロン分解反応の
断面積

T. Nakamura et al.,
PRL103('09)262501

1 中性子ハロー核のクーロン励起

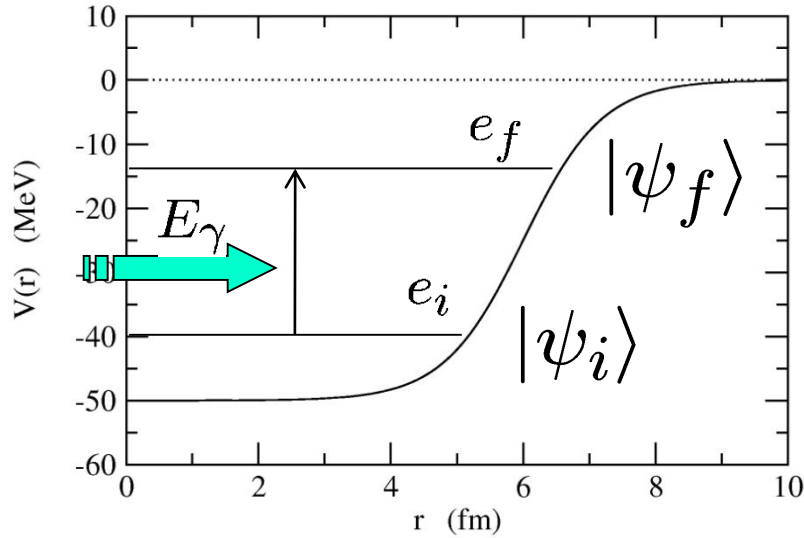


連続状態へ励起されれば
分解が起きる

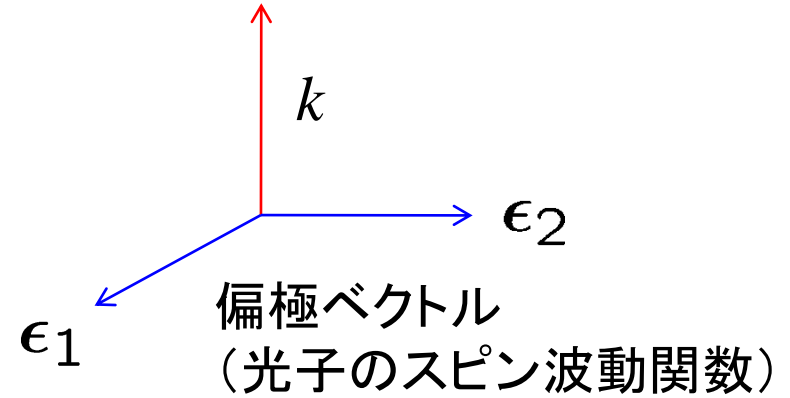


標的核の作るクーロン場による励起

電磁遷移



光子



初期状態: $|\psi_i\rangle |n_{k\alpha} = 1\rangle$



原子核の状態が Ψ_i ,
運動量 k , 偏極 α を持つ
1個のフォトン ($\alpha = 1$ or 2)

遷移



H_{int}
(原子核と電磁場
の相互作用)

終状態: $|\psi_f\rangle |n_{k\alpha} = 0\rangle$

(復習) 時間に依存する摂動論

$$H_{\text{int}} = \frac{1}{Am} \cdot \frac{Ze}{c} \mathbf{A} \cdot \mathbf{p}$$

$$\mathbf{A}(\mathbf{r}, t) = \sum_{\alpha} \int \frac{d\mathbf{k}}{2\pi} \frac{\hbar c}{\sqrt{\hbar\omega}} \left[a_{\mathbf{k}\alpha} \epsilon_{\alpha} e^{-i\omega t} + a_{\mathbf{k}\alpha}^{\dagger} \epsilon_{\alpha} e^{i\omega t} \right] = \mathbf{A}(t)$$

(dipole 近似)

$$V(\mathbf{r}, t) = F(\mathbf{r}) e^{\pm i\omega t}$$

による単位時間あたりの遷移確率:
(単一の状態への遷移の場合)

$$\Gamma_{i \rightarrow f} = \frac{2\pi}{\hbar} |\langle f | F | i \rangle|^2 \delta(e_f - e_i \pm \hbar\omega)$$

Fermi の Golden Rule

今の問題に適用すると:

$$\Gamma_{i \rightarrow f} = \frac{1}{2\pi\hbar} \left(\frac{Ze}{A+1} \right)^2 (e_f - e_i) |\langle \psi_f | z | \psi_i \rangle|^2 \delta(e_f - e_i - \hbar\omega)$$

(参考) これを光子のフラックス $c/(2\pi)^3$ で割れば、光吸収断面積:

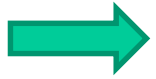
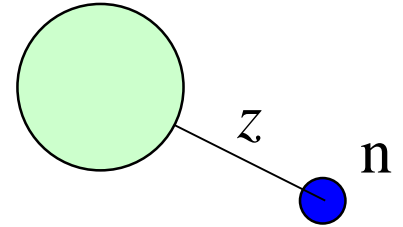
$$\sigma_{\gamma} = \frac{4\pi^2}{\hbar c} \left(\frac{Ze}{A+1} \right)^2 (e_f - e_i) |\langle \psi_f | z | \psi_i \rangle|^2 \delta(e_f - e_i - \hbar\omega)$$

今の問題に適用すると:

$$\Gamma_{i \rightarrow f} = \frac{1}{2\pi\hbar} \left(\frac{Ze}{A+1} \right)^2 (e_f - e_i) \left| \langle \psi_f | z | \psi_i \rangle \right|^2 \delta(e_f - e_i - \hbar\omega)$$



$$P_{i \rightarrow f} \sim \left| \langle \psi_f | z | \psi_i \rangle \right|^2$$



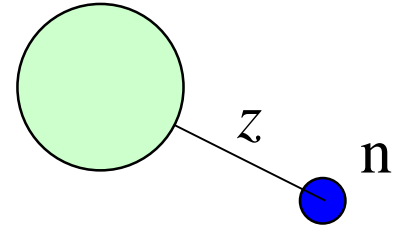
$$\sum_f P_{i \rightarrow f} =$$

今の問題に適用すると:

$$\Gamma_{i \rightarrow f} = \frac{1}{2\pi\hbar} \left(\frac{Ze}{A+1} \right)^2 (e_f - e_i) |\langle \psi_f | z | \psi_i \rangle|^2 \delta(e_f - e_i - \hbar\omega)$$



$$P_{i \rightarrow f} \sim |\langle \psi_f | z | \psi_i \rangle|^2$$



$$\begin{aligned} \sum_f P_{i \rightarrow f} &= \sum_f \langle \psi_i | z | \psi_f \rangle \langle \psi_f | z | \psi_i \rangle \\ &= \langle \psi_i | z^2 | \psi_i \rangle \end{aligned}$$

→ z の広がりが大きいと遷移確率が大きくなる

Wigner-Eckart の定理と換算遷移確率

$$\sigma_\gamma = \frac{16\pi^3}{3\hbar c} \left(\frac{Ze}{A+1} \right)^2 E_\gamma |\langle \psi_f | r Y_{10} | \psi_i \rangle|^2 \delta(e_f - e_i - E_\gamma)$$

$$E_\gamma = e_f - e_i = \hbar\omega$$

$$\begin{aligned} |\langle \psi_f | r Y_{10} | \psi_i \rangle|^2 &\rightarrow \frac{1}{2l+1} \sum_{m,m'} |\langle \psi_{l'm'} | r Y_{10} | \psi_{lm} \rangle|^2 \\ &= \frac{1}{3} \cdot \frac{1}{2l+1} |\langle \psi_{l'} || r Y_1 || \psi_l \rangle|^2 \end{aligned}$$



$$\begin{aligned} \sigma_\gamma &= \frac{16\pi^3}{9\hbar c} E_\gamma \cdot \frac{1}{2l+1} |\langle \psi_f || e_{E1} r Y_1 || \psi_i \rangle|^2 \delta(e_f - e_i - E_\gamma) \\ &= \frac{16\pi^3}{9\hbar c} E_\gamma \cdot \frac{dB(E1)}{dE_\gamma} \end{aligned}$$

換算遷移確率

$$\frac{dB(E1)}{dE_\gamma} = \frac{1}{2l+1} |\langle \psi_f || e_{E1} r Y_1 || \psi_i \rangle|^2 \delta(e_f - e_i - E_\gamma)$$

E1 effective charge

$$\sigma_\gamma = \frac{16\pi^3}{3\hbar c} \left(\frac{Ze}{A+1} \right)^2 (e_f - e_i) \left| \langle \psi_f | r Y_{10} | \psi_i \rangle \right|^2 \delta(e_f - e_i - \hbar\omega)$$

dipole operator:

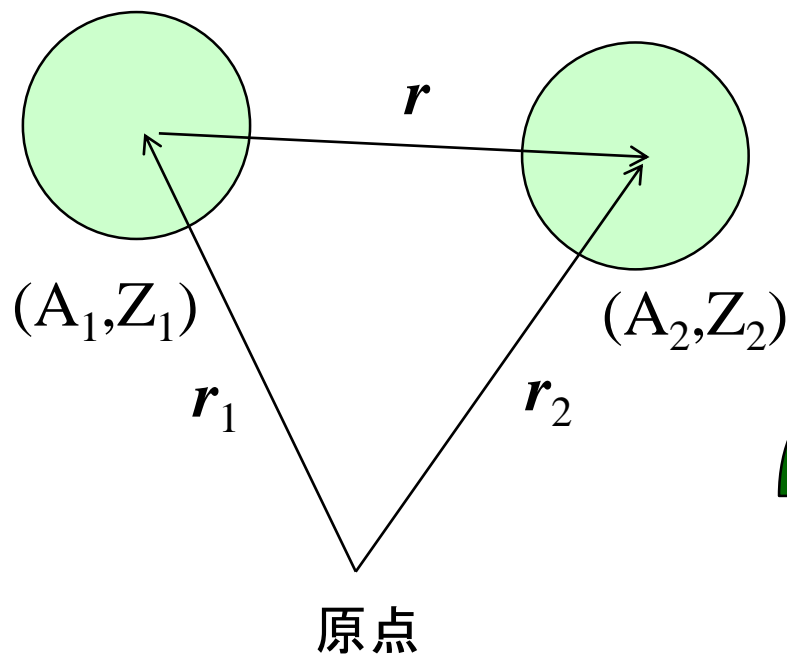
$$\hat{D}_\mu = e_{E1} \cdot r Y_{1\mu}(\theta, \phi)$$

$$e_{E1} = \frac{Z}{A+1} e$$

重心から測った電荷の分布

$$Z_1(r_1 - R) + Z_2(r_2 - R)$$

$$R = \frac{A_1 r_1 + A_2 r_2}{A_1 + A_2}$$



$$\begin{aligned} &= \dots \\ &= \frac{Z_1 A_2 - Z_2 A_1}{A_1 + A_2} (r_1 - r_2) \\ &= \frac{Z_1 A_2 - Z_2 A_1}{A_1 + A_2} r \end{aligned}$$

$$e_{E1} = \frac{Z_1 A_2 - Z_2 A_1}{A_1 + A_2} e$$

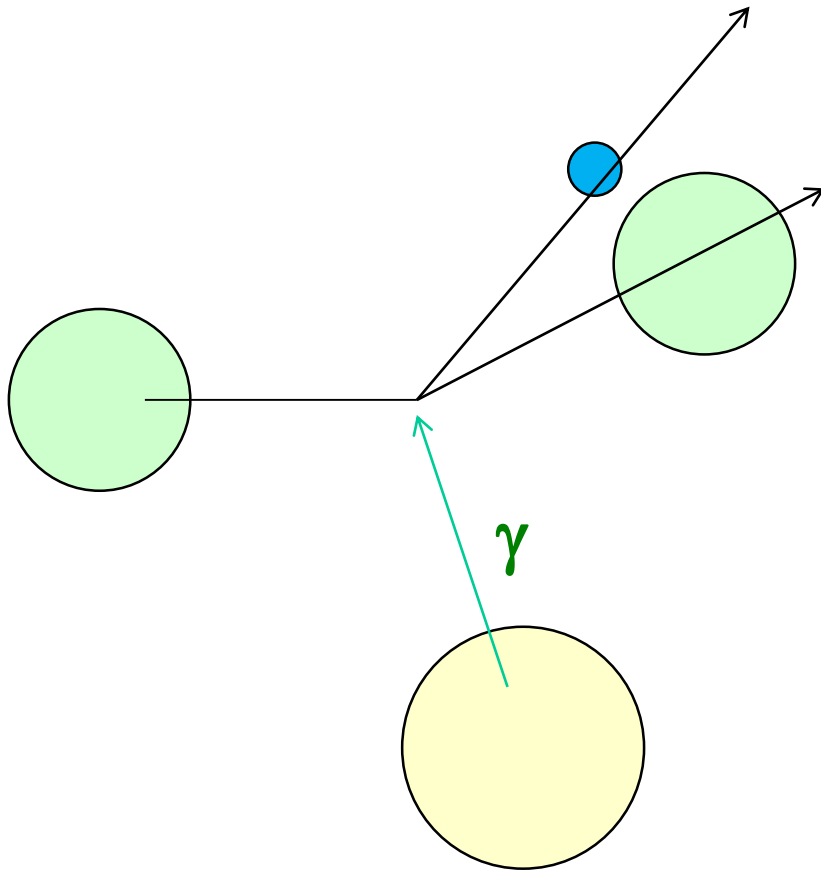
(2体の場合の一般的な式)

クーロン励起の断面積

$$\sigma_{\gamma} = \frac{16\pi^3}{9\hbar c} E_{\gamma} \cdot \frac{dB(E1)}{dE_{\gamma}}$$



$$\frac{d\sigma_{\gamma}}{dE_{\gamma}} \sim \frac{16\pi^3}{9\hbar c} \cdot \frac{dB(E1)}{dE_{\gamma}}$$



実際の**原子核反応**では、
実光子ではなく
ヴァーチャル・光子を吸収
する。

$$\frac{d\sigma}{dE_{\text{ex}}} \sim \frac{16\pi^3}{9\hbar c} \cdot N_{E1}(E_{\text{ex}}) \cdot \frac{dB(E1)}{dE_{\text{ex}}}$$

↑
virtual photon の数

* 詳しくは、
C.A. Bertulani and P. Danielwicz,
“Introduction to Nuclear Reactions”

E1 電磁遷移強度分布の簡単な見積もり(解析的な模型)

$l=0$ 状態から $l=1$ 状態への遷移:

初期状態の波動関数: $\psi_i(\mathbf{r}) = \sqrt{2\kappa} \frac{e^{-\kappa r}}{r} Y_{00}(\hat{\mathbf{r}})$ $\kappa = \sqrt{\frac{2\mu|E_b|}{\hbar^2}}$

終状態の波動関数: $\psi_f(\mathbf{r}) = \sqrt{\frac{2\mu k}{\pi\hbar^2}} j_1(kr) Y_{1m}(\hat{\mathbf{r}})$ $j_1(kr)$ は球ベッセル関数

$k = \sqrt{\frac{2\mu E_c}{\hbar^2}}$

とすると、

$$\frac{dB(E1)}{dE} = \frac{3}{4\pi} e_{E1}^2 \left| \int_0^\infty r^2 dr r \cdot \frac{\sqrt{2\kappa} e^{-\kappa r}}{r} \cdot \sqrt{\frac{2\mu k}{\pi\hbar^2}} j_1(kr) \right|^2$$

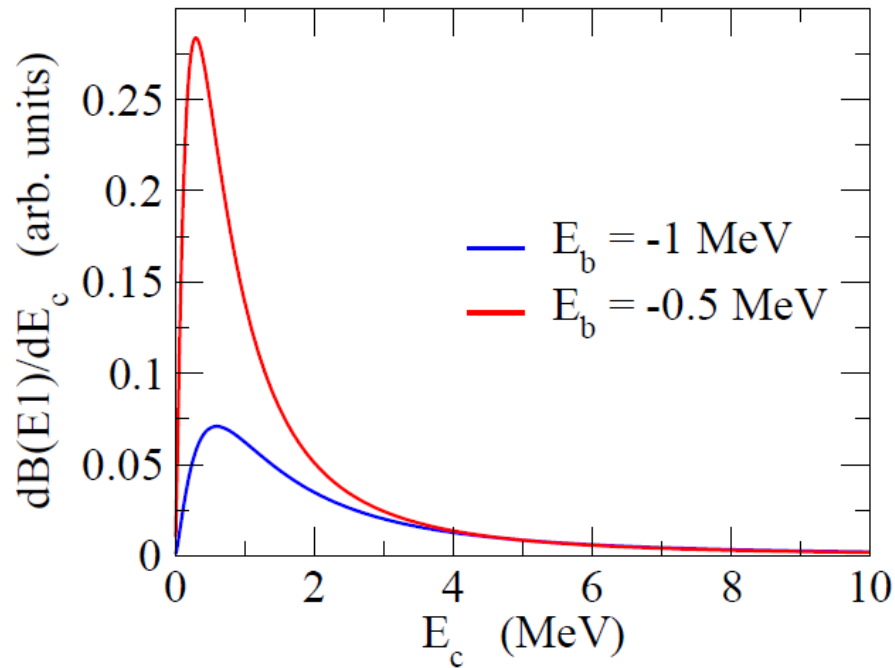
積分は解析的に実行可能


$$\frac{dB(E1)}{dE} = \frac{3\hbar^2}{\pi^2\mu} e_{E1}^2 \frac{\sqrt{|E_b|} E_c^{3/2}}{(|E_b| + E_c)^4}$$

Refs. (一般的な l_i, l_f の場合の式も)

- M.A. Nagarajan, S.M. Lenzi, A. Vitturi, Eur. Phys. J. A24('05)63
- S. Typel and G. Baur, NPA759('05)247

$$\frac{dB(E1)}{dE} = \frac{3\hbar^2}{\pi^2\mu} e_{E1}^2 \frac{\sqrt{|E_b|} E_c^{3/2}}{(|E_b| + E_c)^4}$$



ピーク的位置: $E_c = \frac{3}{5} |E_b|$
 $(E_x = E_c - E_b = \frac{8}{5} |E_b|)$

ピークの高さ: $\propto 1/|E_b|^2$

全遷移確率:

$$B(E1) = S_0 = \frac{3\hbar^2 e_{E1}^2}{16\pi^2\mu |E_b|}$$



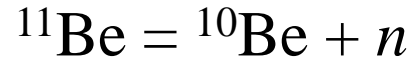
➤ 束縛状態のエネルギーが小さくなると
鋭くて高いピーク

➤ 束縛状態のエネルギーが小さくなると
ピークのエネルギーが小さくなる

$$E_{\text{peak}} = 0.28 \text{ MeV } (E_b = -0.5 \text{ MeV})$$

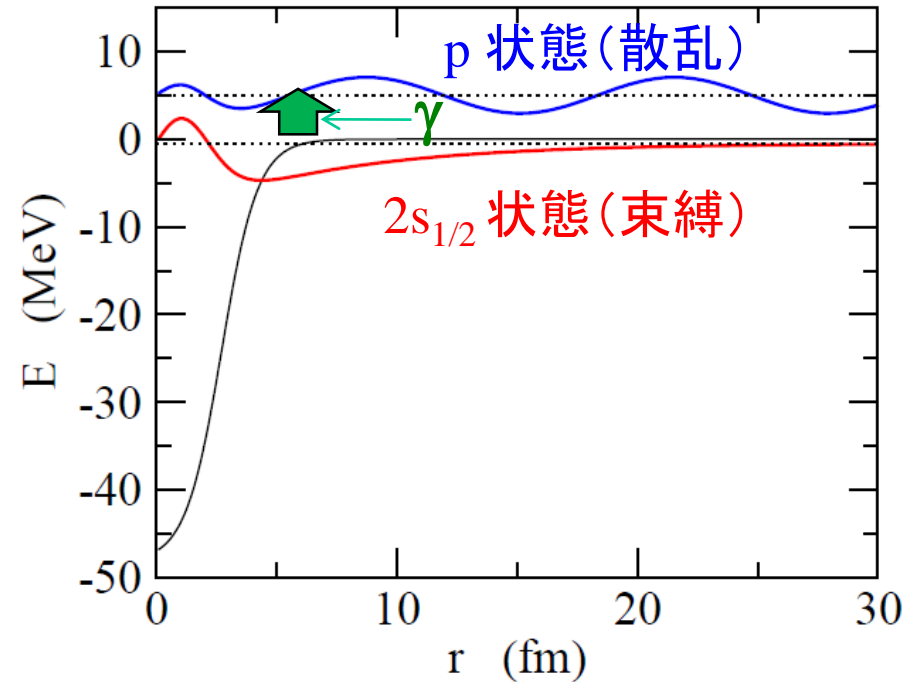
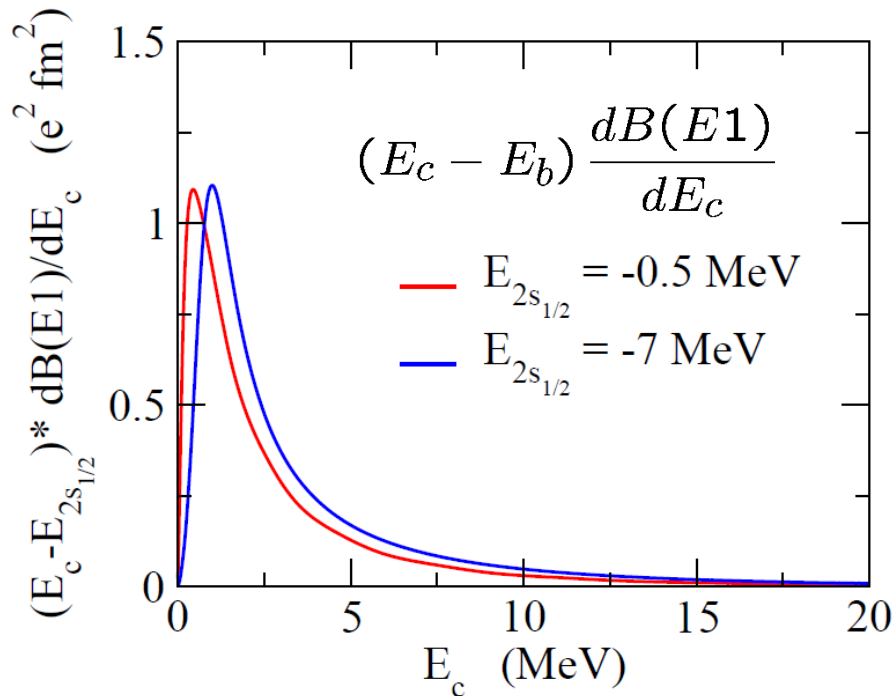
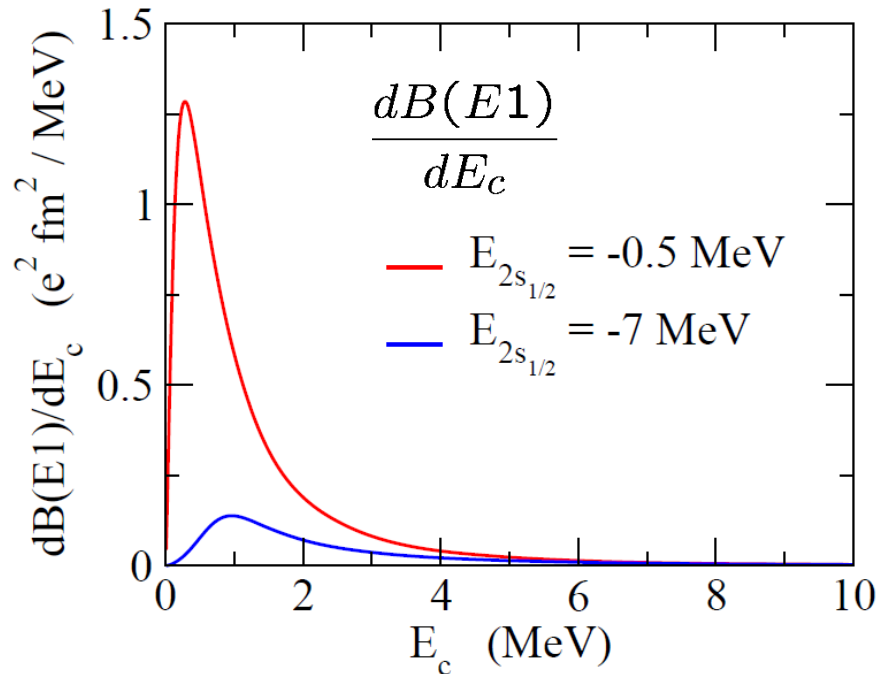
$$\text{cf. } \frac{3}{5} |E_b| = 0.3 \text{ MeV}$$

Woods-Saxon ポテンシャルを用いた実際の数値計算



$2s_{1/2}$ 状態 (束縛) から p 状態 ($l=1$) への遷移強度

弱く束縛されている場合と強く束縛されている場合の比較





▶ 束縛状態のエネルギーが小さくなると
鋭くて高いピーク

$$S_0 = \int_0^\infty dE_c \frac{dB(E1)}{dE_c}$$

$$= 1.53 \text{ e}^2\text{fm}^2 \text{ (} E_b = -0.5 \text{ MeV)}$$

$$0.32 \text{ e}^2\text{fm}^2 \text{ (} E_b = -7 \text{ MeV)}$$

▶ 束縛状態のエネルギーが小さくなると
ピークのエネルギーが小さくなる

$$E_{\text{peak}} = 0.28 \text{ MeV (} E_b = -0.5 \text{ MeV)}$$

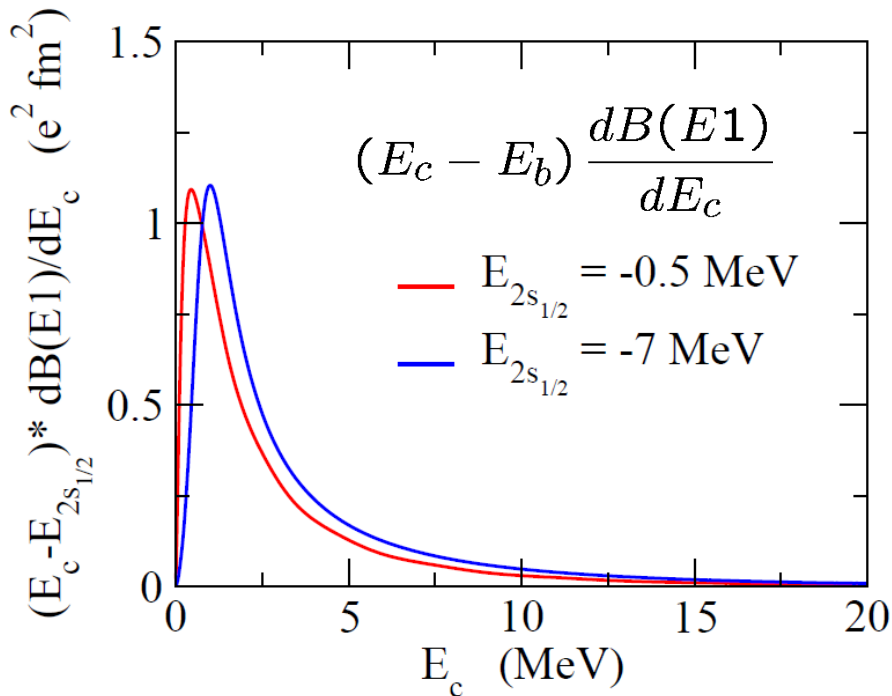
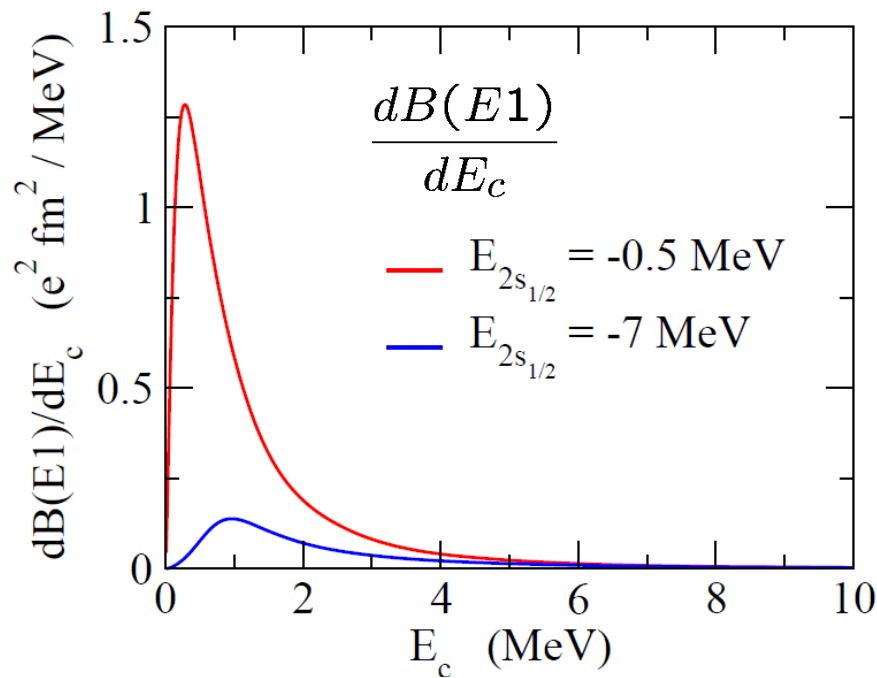
$$0.96 \text{ MeV (} E_b = -7 \text{ MeV)}$$

▶ 遷移強度に $(E_c - E_b)$ を掛けたものは
あまり E_b に依らない

$$S_1 = \int_0^\infty dE_c (E_c - E_b) \frac{dB(E1)}{dE_c}$$

$$= 2.79 \text{ e}^2\text{fm}^2 \text{ MeV (} E_b = -0.5 \text{ MeV)}$$

$$3.18 \text{ e}^2\text{fm}^2 \text{ MeV (} E_b = -7 \text{ MeV)}$$

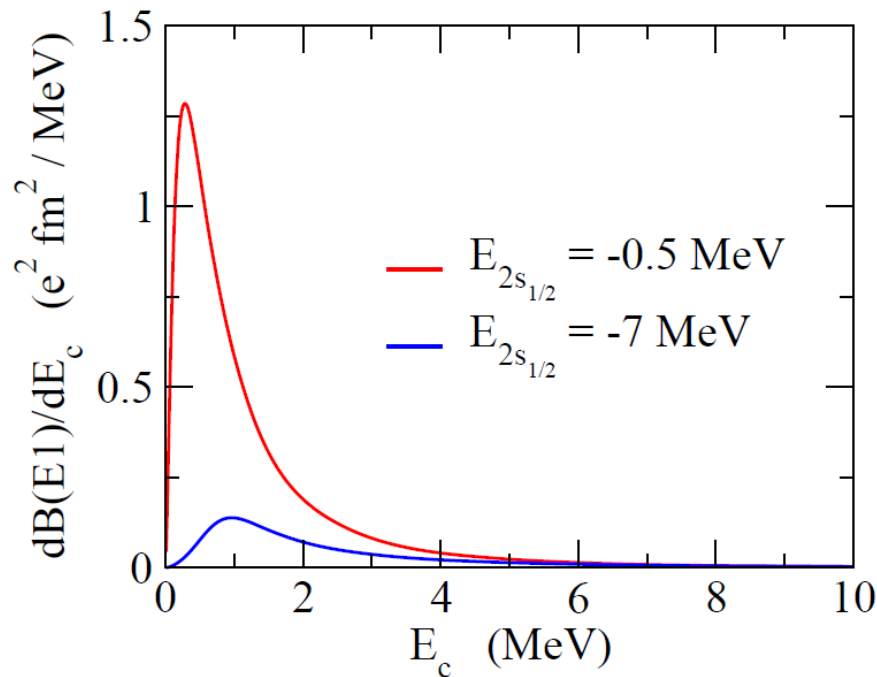


和則(わそく) : Sum Rule

$$S_0 = \int_0^\infty dE_c \frac{dB(E1)}{dE_c} = \frac{3}{4\pi} e_{E1}^2 \langle r^2 \rangle_i$$



全E1遷移確率は r^2 の(基底状態)期待値に比例



$$\begin{aligned} S_0 &= \int_0^\infty dE_c \frac{dB(E1)}{dE_c} \\ &= 1.53 \text{ e}^2 \text{fm}^2 \quad (E_b = -0.5 \text{ MeV}) \\ &\quad 0.32 \text{ e}^2 \text{fm}^2 \quad (E_b = -7 \text{ MeV}) \end{aligned}$$

$$\begin{aligned} &\frac{3}{4\pi} e_{E1}^2 \langle r^2 \rangle_i \\ &= 1.62 \text{ e}^2 \text{fm}^2 \quad (E_b = -0.5 \text{ MeV}) \\ &\quad 0.41 \text{ e}^2 \text{fm}^2 \quad (E_b = -7 \text{ MeV}) \end{aligned}$$

* ほぼ一致。

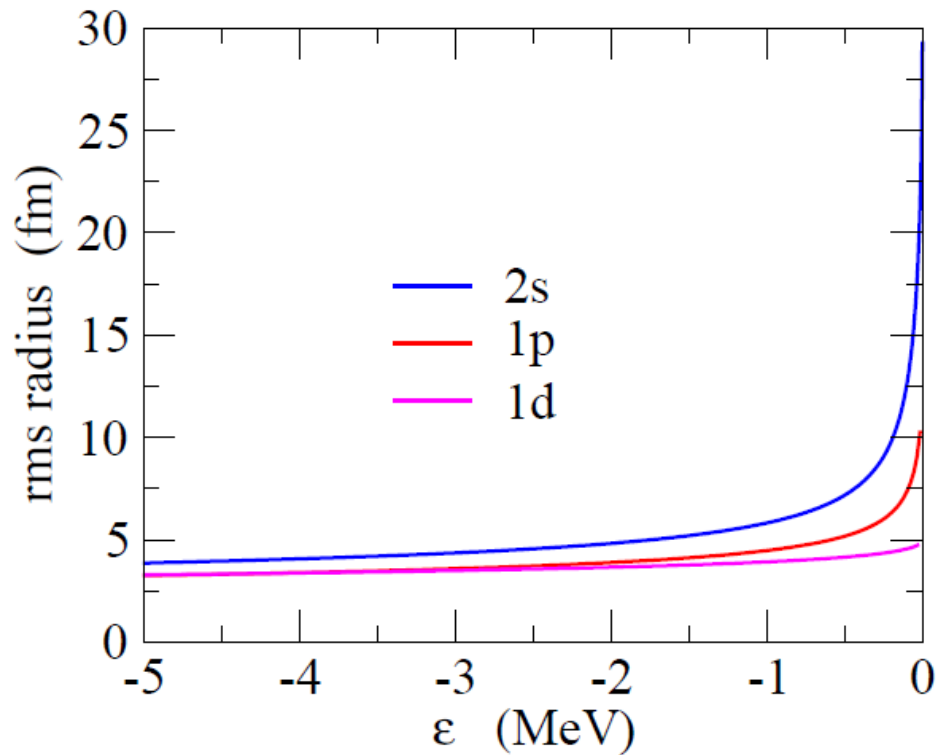
少しずれているのはパウリ禁止遷移 (2sから1pへの遷移)のため

和則(わそく) : Sum Rule

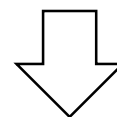
$$S_0 = \int_0^\infty dE_c \frac{dB(E1)}{dE_c} = \frac{3}{4\pi} e_{E1}^2 \langle r^2 \rangle_i$$



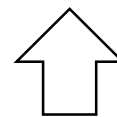
全E1遷移確率は r^2 の(基底状態)期待値に比例



初期状態が $l=0$ または $l=1$ だと
束縛が弱くなるほど半径は増大



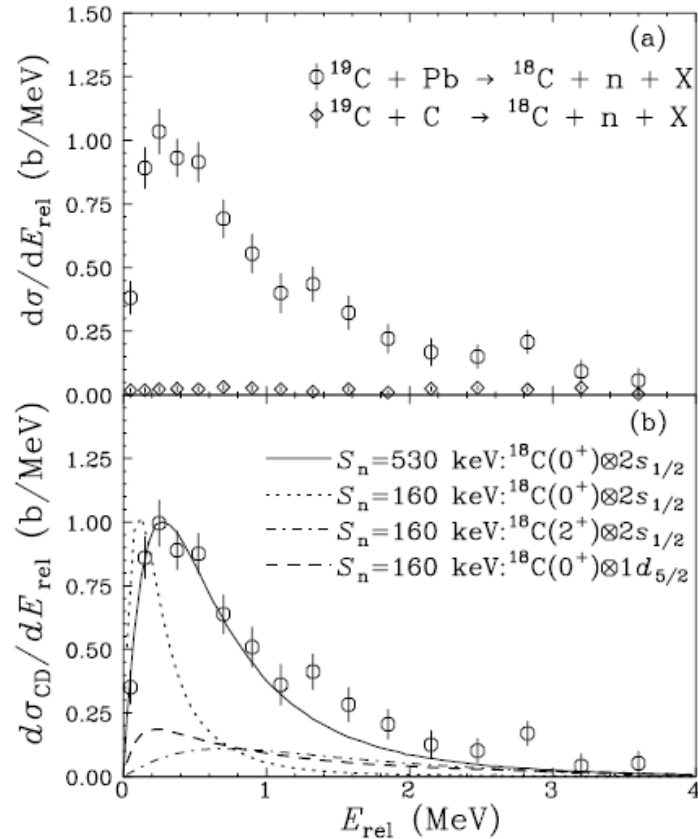
全E1遷移確率も増大



逆に大きな全E1遷移確率
(またはクーロン分解断面積)
が観測されたら $l=0$ or $l=1$ が示唆
される → ハロー構造

1n ハロ一核の他の候補

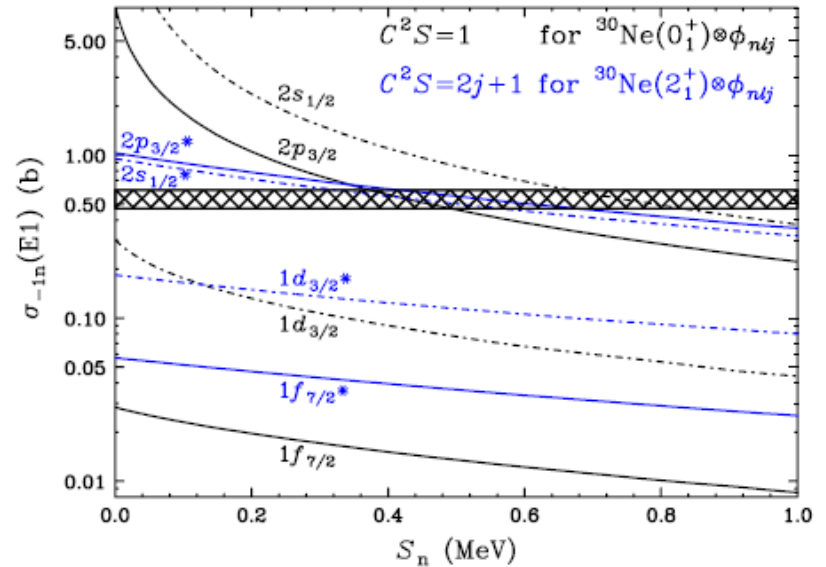
^{19}C : $S_n = 0.58(9)$ MeV



^{19}C のクーロン分解反応

T. Nakamura et al., PRL83('99)1112

^{31}Ne : $S_n = 0.29 \pm 1.64$ MeV

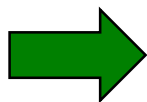
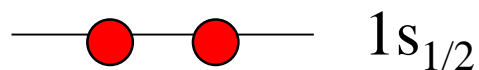
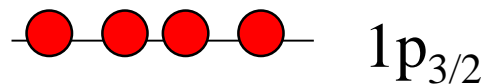


大きなクーロン分解反応の
断面積

T. Nakamura et al.,
PRL103('09)262501

原子核の変形

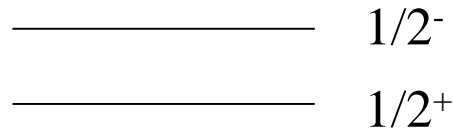
球形ポテンシャルの準位



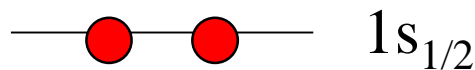
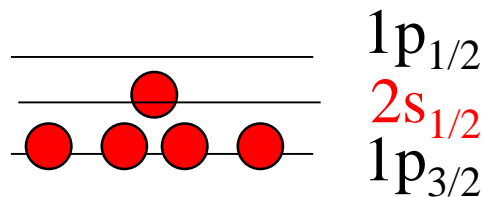
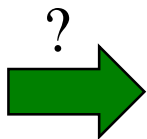
^{11}Be の基底状態は $I^\pi = 1/2^-$

実際の ^{11}Be の準位

0.32 MeV



^{11}Be



“parity inversion”

^{11}Be は変形している? → 変形したポテンシャル中の一粒子運動

s.p. motion in a deformed potential

halo : only for $l = 0$ or 1

⇒ however, a possibility is enlarged for a deformed nucleus

deformed potential $V(r,\theta)$ → mixture of angular momenta

e.g.,

$$|d_{5/2}\rangle \rightarrow |d_{5/2}\rangle + |s_{1/2}\rangle + |g_{7/2}\rangle + \dots$$

$$|f_{7/2}\rangle \rightarrow |f_{7/2}\rangle + |p_{3/2}\rangle + |p_{1/2}\rangle + \dots$$

(note) $s_{1/2} : \Omega^\pi = 1/2^+$ only

$p_{1/2} : \Omega^\pi = 1/2^-$ only

$p_{3/2} : \Omega^\pi = 3/2^-$ and $1/2^-$ only

} → possibility of halo
only for s.p. states
with
 $\Omega^\pi = 1/2^+, 1/2^-, 3/2^-$

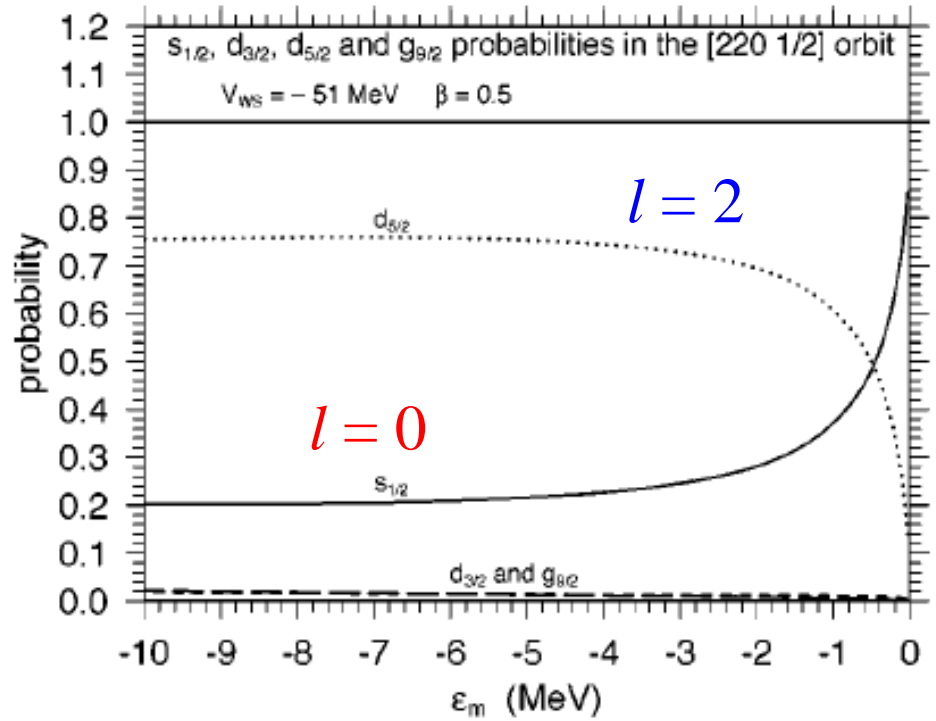
s.p. motion in a deformed potential

$$\begin{aligned} |d_{5/2}\rangle &\rightarrow |d_{5/2}\rangle + |s_{1/2}\rangle + |g_{7/2}\rangle + \dots \\ &\rightarrow |s_{1/2}\rangle \quad (|\epsilon| \rightarrow 0) \end{aligned}$$

T. Misu, W. Nazarewicz,
and S. Aberg, NPA614('97)44
(deformed square well)

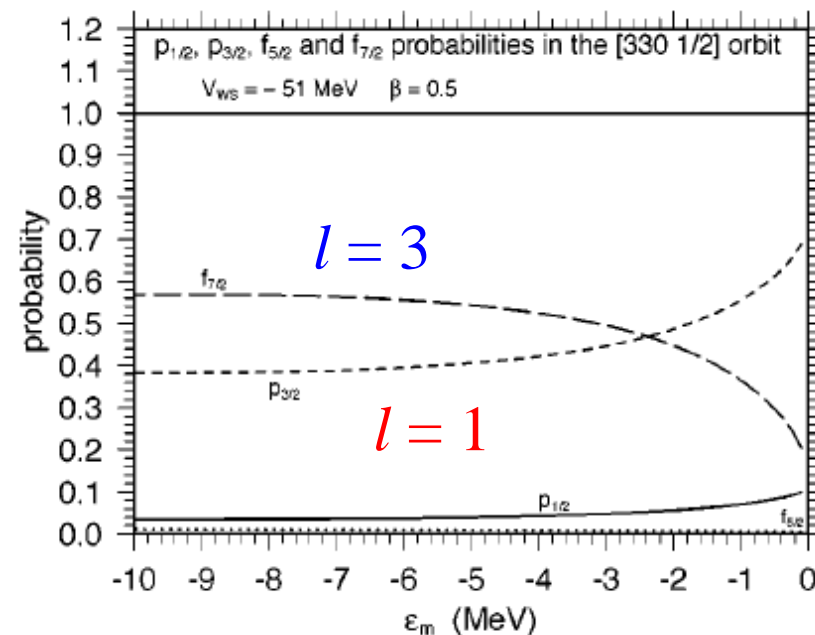
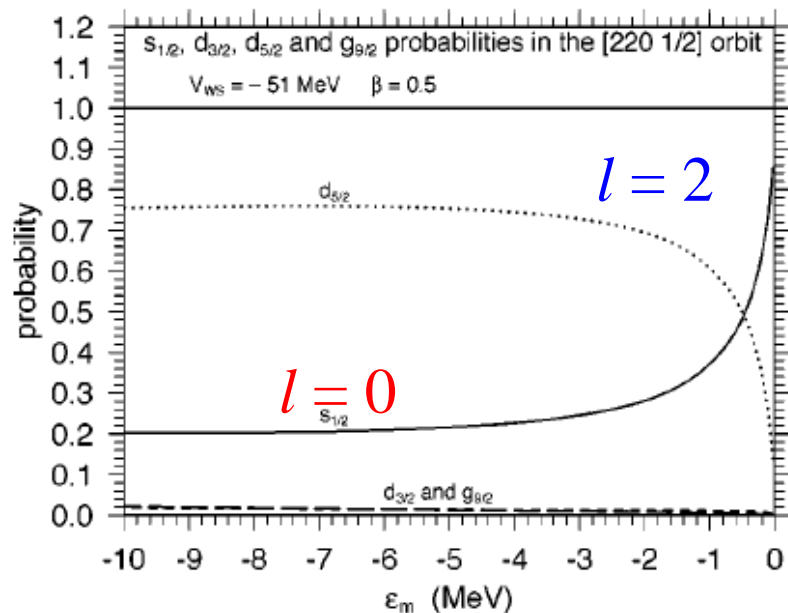
束縛が弱くなると、どんなに小さな変形においても、 $l=0$ の項がドミナントになる。

(束縛エネルギーがゼロの極限では $l=0$ の成分が 100%)



I. Hamamoto, PRC69('04)041306(R)
(deformed Woods-Saxon)

s-wave dominance 現象



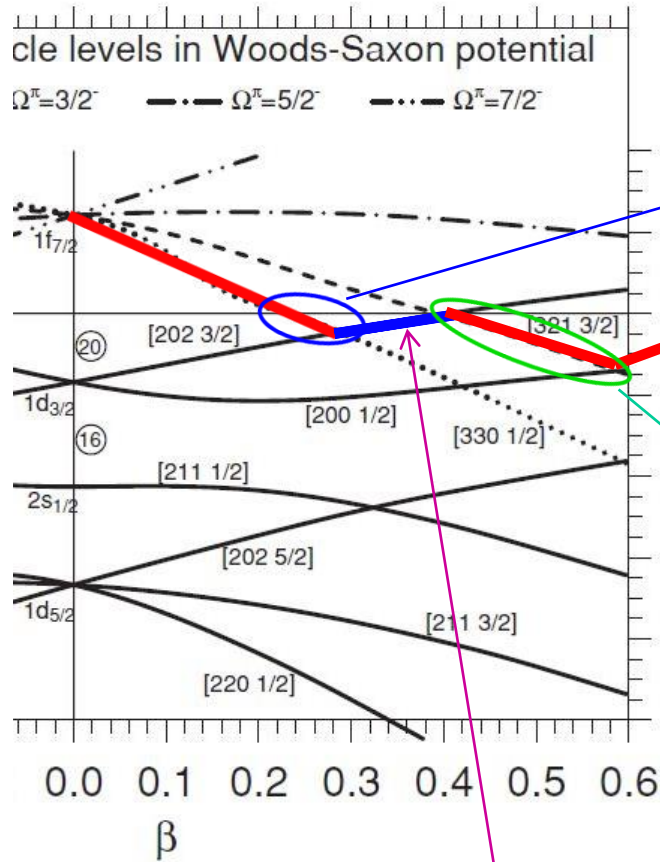
I. Hamamoto, PRC69('04)041306(R)

$l = 1$ の成分も同様に弱束縛
 で増大(但し 100% にはならない)

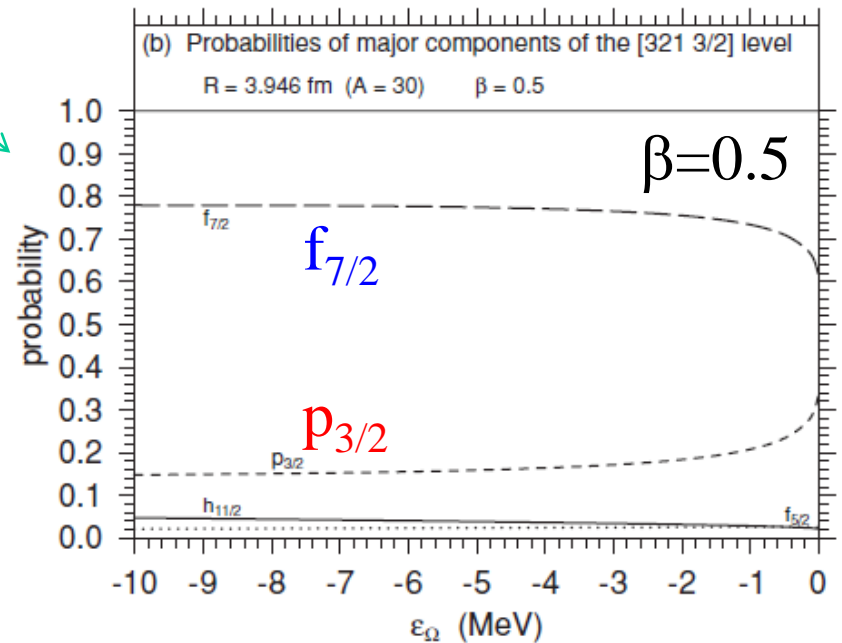
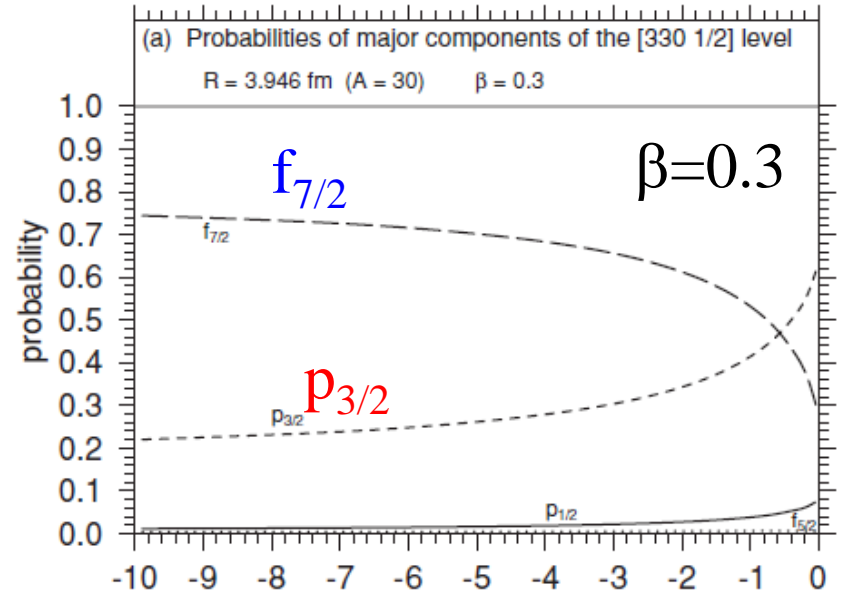


変形したハロー核の可能性: ^{31}Ne

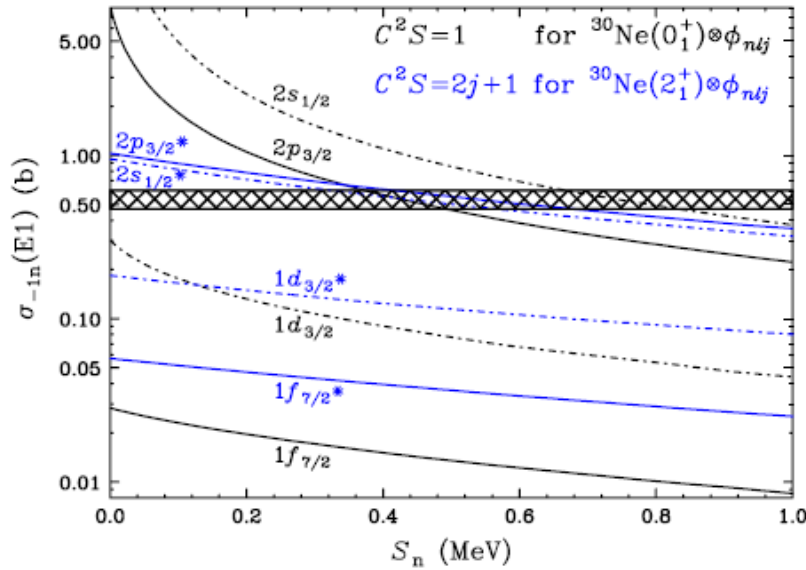
Nilsson model analysis [I. Hamamoto, PRC81('10)021304(R)]



non-halo
($\Omega^\pi = 3/2^+$)

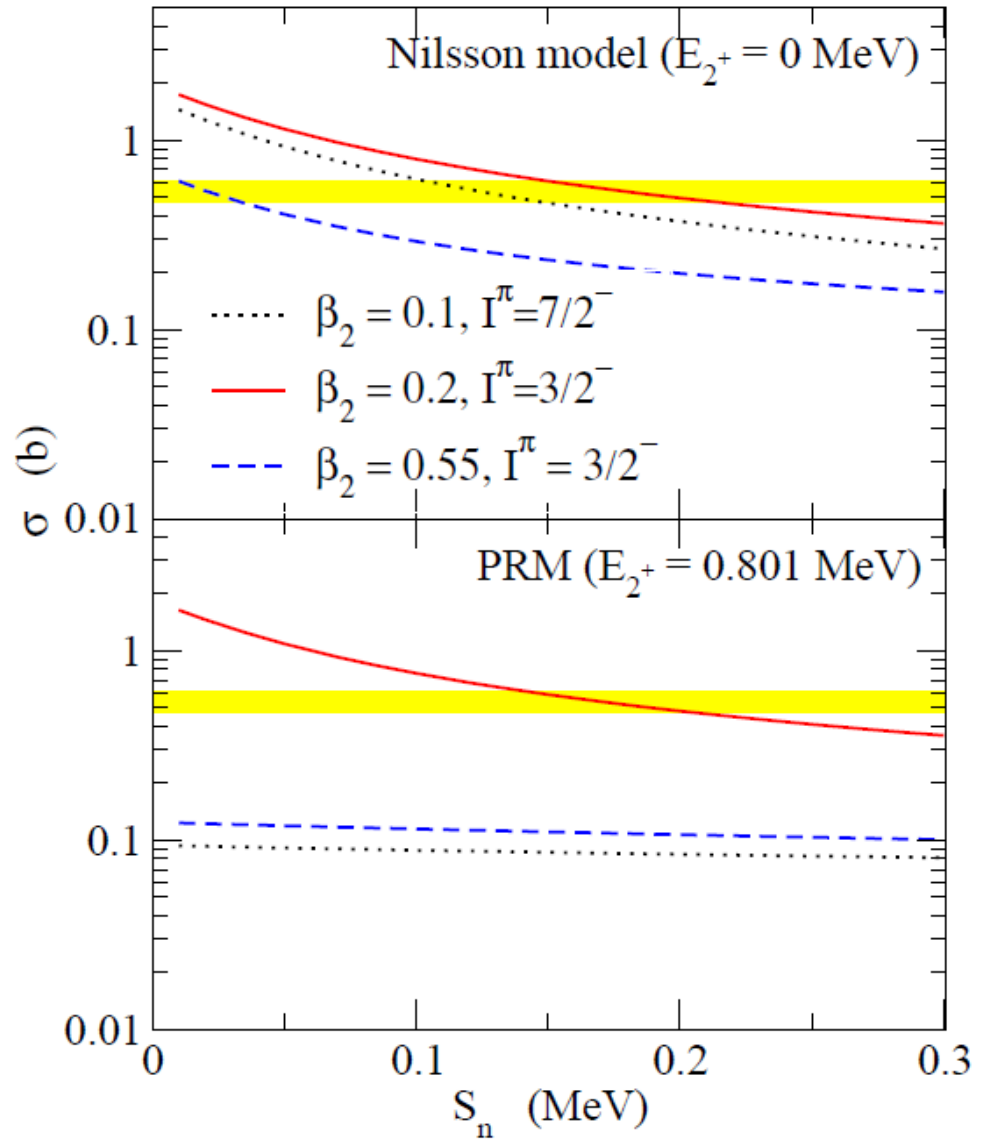


^{31}Ne



大きなクーロン分解反応の
断面積

T. Nakamura et al.,
PRL103('09)262501



Y. Urata, K.H., and H. Sagawa,
PRC83('11)041303(R)

Observation of a p -Wave One-Neutron Halo Configuration in ^{37}Mg

N. Kobayashi,^{1,*} T. Nakamura,¹ Y. Kondo,¹ J. A. Tostevin,^{2,1} Y. Utsuno,³ N. Aoi,^{4,†} H. Baba,⁴ R. Barthelemy,⁵ M. A. Famiano,⁵ N. Fukuda,⁴ N. Inabe,⁴ M. Ishihara,⁴ R. Kanungo,⁶ S. Kim,⁷ T. Kubo,⁴ G. S. Lee,¹ H. S. Lee,⁷ M. Matsushita,^{4,‡} T. Motobayashi,⁴ T. Ohnishi,⁴ N. A. Orr,⁸ H. Otsu,⁴ T. Otsuka,⁹ T. Sako,¹ H. Sakurai,⁴ Y. Satou,⁷ T. Sumikama,^{10,§} H. Takeda,⁴ S. Takeuchi,⁴ R. Tanaka,¹ Y. Togano,^{4,¶} and K. Yoneda⁴

¹*Department of Physics, Tokyo Institute of Technology, 2-12-1 O-Okayama, Meguro, Tokyo 152-8551, Japan*

²*Department of Physics, Faculty of Engineering and Physical Sciences, University of Surrey, Guildford, Surrey GU2 7XH, United Kingdom*

³*Japan Atomic Energy Agency, Tokai, Ibaraki 319-1195, Japan*

⁴*RIKEN Nishina Center, Hirosawa 2-1, Wako, Saitama 351-0198, Japan*

⁵*Department of Physics, Western Michigan University, Kalamazoo, Michigan 49008, USA*

⁶*Astronomy and Physics Department, Saint Mary's University, Halifax, Nova Scotia B3 H 3C3, Canada*

⁷*Department of Physics and Astronomy, Seoul National University, Seoul 151-742, Korea*

⁸*LPC-Caen, ENSICAEN, IN2P3-CNRS, Université de Caen, 14050 Caen Cedex, France*

⁹*CNS, University of Tokyo, RIKEN Campus, Wako, Saitama 351-0198, Japan*

¹⁰*Department of Physics, Tokyo University of Science, Chiba 278-8510, Japan*

(Received 13 March 2014; published 18 June 2014)